

Sociedade Brasileira de Cardiologia • ISSN-0066-782X • c Volume 115, N° 4, Suplemento 2, Outubro 2020

Resumo das Comunicações

XXXII CONGRESSO DA SOCIEDADE DE CARDIOLOGIA DO ESPÍRITO SANTO

VITÓRIA - ESPÍRITO SANTO

Patrocinadores:

Diamante:





Ouro:









Patrocinadores:

















Diretor Científico

Fernando Bacal

Editor-Chefe

Carlos Eduardo Rochitte

Coeditor Internacional João Lima

Editor de Mídias Sociais

Tiago Senra

Editor de Consultoria Chinesa

Ruhong Jiang

Editores Associados

Cardiologia Clínica Gláucia Maria Moraes

de Oliveira

Cardiologia Cirúrgica Alexandre Siciliano Colafranceschi

Cardiologia Intervencionista Pedro A. Lemos

Cardiologia Pediátrica/Congênitas

Ieda Biscegli Jatene

Vitor C. Guerra

Arritmias/Marca-passo Mauricio Scanavacca

Métodos Diagnósticos Não-Invasivos João Luiz Cavalcante

Pesquisa Básica ou **Experimental**

Marina Politi Okoshi

Epidemiologia/Estatística

Marcio Sommer Bittencourt

Hipertensão Arterial Paulo Cesar B. V. Jardim

Ergometria, Exercício e Reabilitação Cardíaca Ricardo Stein

Primeiro Editor (1948-1953) † Jairo Ramos

Conselho Editorial

Aguinaldo Figueiredo de Freitas Junior – Universidade Federal de Goiás (UFG), Goiânia GO – Brasil

Alfredo José Mansur - Faculdade de Medicina da Universidade de São Paulo (FMUSP), São Paulo, SP - Brasil

Aloir Queiroz de Araújo Sobrinho - Instituto de Cardiologia do Espírito Santo, Vitória, ES – Brasil

Amanda Guerra de Moraes Rego Sousa – Instituto Dante Pazzanese de Cardiologia/Fundação Adib Jatene (IDPC/FAJ), São Paulo, SP – Brasil

Ana Clara Tude Rodrigues - Hospital das Clinicas da Universidade de São Paulo (HCFMUSP), São Paulo, SP - Brasil

André Labrunie - Hospital do Coração de Londrina (HCL), Londrina, PR -

Andrei Carvalho Sposito - Universidade Estadual de Campinas (UNICAMP), Campinas, SP - Brasil

Angelo Amato Vincenzo de Paola – Universidade Federal de São Paulo (UNIFESP), São Paulo, SP - Brasil

Antonio Augusto Barbosa Lopes – Instituto do Coração Incor Hc Fmusp (INCOR), São Paulo, SP - Brasil

Antonio Carlos de Camargo Carvalho – Universidade Federal de São Paulo (UNIFESP), São Paulo, SP – Brasil

Antônio Carlos Palandri Chagas – Universidade de São Paulo (USP), São Paulo, SP - Brasil

Antonio Carlos Pereira Barretto - Universidade de São Paulo (USP), São Antonio Cláudio Lucas da Nóbrega – Universidade Federal Fluminense

(UFF), Rio de Ianeiro, RI - Brasil

Antonio de Padua Mansur - Faculdade de Medicina da Universidade de São Paulo (FMUSP), São Paulo, SP - Brasil

Ari Timerman (SP) – Instituto Dante Pazzanese de Cardiologia (IDPC), São Paulo, SP - Brasil

Armênio Costa Guimarães - Liga Bahiana de Hipertensão e Aterosclerose, Salvador, BA - Brasil

Ayrton Pires Brandão - Universidade do Estado do Rio de Janeiro (UERJ), Rio de Janeiro, RJ - Brasil

Beatriz Matsubara - Universidade Estadual Paulista Júlio de Mesquita Filho (UNESP), São Paulo, SP - Brasil

Brivaldo Markman Filho - Universidade Federal de Pernambuco (UFPE), Recife, PE - Brasil

Bruno Caramelli – Universidade de São Paulo (USP), São Paulo, SP – Brasil Carisi A. Polanczyk - Universidade Federal do Rio Grande do Sul (UFRGS), Porto Alegre, RS – Brasil

Carlos Eduardo Rochitte - Instituto do Coração do Hospital das Clínicas da Faculdade de Medicina (INCOR HCFMUSP), São Paulo, SP – Brasil

Carlos Eduardo Suaide Silva - Universidade de São Paulo (USP), São Paulo,

Carlos Vicente Serrano Júnior - Instituto do Coração (InCor HCFMUSP), São Paulo, SP - Brasil

Celso Amodeo - Instituto Dante Pazzanese de Cardiologia/Fundação Adib Jatene (IDPC/FAJ), São Paulo, SP - Brasil

Charles Mady - Universidade de São Paulo (USP), São Paulo, SP - Brasil Claudio Gil Soares de Araujo - Universidade Federal do Rio de Janeiro (UFRJ), Rio de Janeiro, RJ - Brasil

Cláudio Tinoco Mesquita - Universidade Federal Fluminense (UFF), Rio de Ianeiro, RI - Brasil

Cleonice Carvalho C. Mota – Universidade Federal de Minas Gerais (UFMG), Belo Horizonte, MG - Brasil

Clerio Francisco de Azevedo Filho - Universidade do Estado do Rio de Janeiro (UERJ), Rio de Janeiro, RJ - Brasil

Dalton Bertolim Précoma – Pontifícia Universidade Católica do Paraná (PUC/PR), Curitiba, PR – Brasil

Dário C. Sobral Filho - Universidade de Pernambuco (UPE), Recife, PE -Brasil

Décio Mion Junior – Hospital das Clínicas da Faculdade de Medicina da Universidade de São Paulo (HCFMUSP), São Paulo, SP - Brasil

Denilson Campos de Albuquerque - Universidade do Estado do Rio de

Janeiro (UERJ), Rio de Janeiro, RJ – Brasil Diair Brindeiro Filho – Universidade Federal de Pernambuco (UFPE), Recife,

Domingo M. Braile - Universidade Estadual de Campinas (UNICAMP), São

Edmar Atik – Hospital Sírio Libanês (HSL), São Paulo, SP – Brasil

Emilio Hideyuki Moriguchi - Universidade Federal do Rio Grande do Sul (UFRGS) Porto Alegre, RS – Brasil

Enio Buffolo - Universidade Federal de São Paulo (UNIFESP), São Paulo,

Eulógio E. Martinez Filho - Instituto do Coração (InCor), São Paulo, SP -Brasil

Evandro Tinoco Mesquita - Universidade Federal Fluminense (UFF), Rio de Janeiro, RJ - Brasil

Expedito E. Ribeiro da Silva – Universidade de São Paulo (USP), São Paulo, SP - Brasil

Fábio Vilas Boas Pinto - Secretaria Estadual da Saúde da Bahia (SESAB), Salvador, BA - Brasil

3

Fernando Bacal – Universidade de São Paulo (USP), São Paulo, SP – Brasil Flávio D. Fuchs – Universidade Federal do Rio Grande do Sul (UFRGS).

Porto Alegre, RS – Brasil

Francisco Antonio Helfenstein Fonseca – Universidade Federal de São Paulo (UNIFESP), São Paulo, SP – Brasil

Gilson Soares Feitosa – Escola Bahiana de Medicina e Saúde Pública (EBMSP), Salvador, BA – Brasil

Glaucia Maria M. de Oliveira – Universidade Federal do Rio de Janeiro (UFRJ), Rio de Janeiro, RJ – Brasil

Hans Fernando R. Dohmann, AMIL – ASSIST. MEDICA INTERNACIONAL LTDA., Rio de Janeiro, RJ – Brasil

Humberto Villacorta Junior – Universidade Federal Fluminense (UFF), Rio de Janeiro, RI – Brasil

Ines Lessa – Universidade Federal da Bahia (UFBA), Salvador, BA – Brasil Iran Castro – Instituto de Cardiologia do Rio Grande do Sul (IC/FUC), Porto Alegre. RS – Brasil

Jarbas Jakson Dinkhuysen – Instituto Dante Pazzanese de Cardiologia/ Fundação Adib Jatene (IDPC/FAJ), São Paulo, SP – Brasil

João Pimenta — Instituto de Assistência Médica ao Servidor Público Estadual (IAMSPE), São Paulo, SP — Brasil

Jorge Ilha Guimarães — Fundação Universitária de Cardiologia (IC FUC), Porto Alegre. RS — Brasil

José Antonio Franchini Ramires – Instituto do Coração Incor Hc Fmusp (INCOR), São Paulo, SP – Brasil

José Augusto Soares Barreto Filho – Universidade Federal de Sergipe, Aracaju, SE – Brasil

José Carlos Nicolau – Instituto do Coração (InCor), São Paulo, SP – Brasil

José Lázaro de Andrade – Hospital Sírio Libanês, São Paulo, SP – Brasil

José Péricles Esteves – Hospital Português, Salvador, BA – Brasil

Leonardo A. M. Zornoff – Faculdade de Medicina de Botucatu Universidade Estadual Paulista Júlio de Mesquita Filho (UNESP), Botucatu, SP – Brasil

Leopoldo Soares Piegas – Instituto Dante Pazzanese de Cardiologia/ Fundação Adib Jatene (IDPC/FAJ) São Paulo, SP – Brasil

Lucia Campos Pellanda – Fundação Universidade Federal de Ciências da Saúde de Porto Alegre (UFCSPA), Porto Alegre, RS – Brasil

Luís Eduardo Paim Rohde — Universidade Federal do Rio Grande do Sul (UFRGS), Porto Alegre, RS — Brasil

Luís Cláudio Lemos Correia — Escola Bahiana de Medicina e Saúde Pública (EBMSP), Salvador, BA — Brasil

Luiz A. Machado César – Fundação Universidade Regional de Blumenau (FURB), Blumenau, SC – Brasil

Luiz Alberto Piva e Mattos – Instituto Dante Pazzanese de Cardiologia (IDPC). São Paulo, SP – Brasil

Marcia Melo Barbosa – Hospital Socor, Belo Horizonte, MG – Brasil

Marcus Vinícius Bolívar Malachias – Faculdade Ciências Médicas MG (FCMMG), Belo Horizonte, MG – Brasil

Maria da Consolação V. Moreira — Universidade Federal de Minas Gerais (UFMG), Belo Horizonte, MG — Brasil Mario S. S. de Azeredo Coutinho — Universidade Federal de Santa Catarina

(UFSC), Florianópilis, SC – Brasil

Maurício Ibrahim Scanavacca – Universidade de São Paulo (USP), São

Paulo, SP – Brasil Max Grinberg – Instituto do Coração do Hcfmusp (INCOR), São Paulo, SP –

Max Grinberg – Instituto do Coração do Hermusp (INCOR), São Paulo, SP – Brasil

Michel Batlouni – Instituto Dante Pazzanese de Cardiologia (IDPC), São Paulo, SP – Brasil

Murilo Foppa – Hospital de Clínicas de Porto Alegre (HCPA), Porto Alegre, RS – Brasil

Nadine O. Clausell – Universidade Federal do Rio Grande do Sul (UFRGS), Porto Alegre, RS – Brasil

Orlando Campos Filho – Universidade Federal de São Paulo (UNIFESP), São

Otávio Rizzi Coelho — Universidade Estadual de Campinas (UNICAMP), Campinas, SP — Brasil

Otoni Moreira Gomes – Universidade Federal de Minas Gerais (UFMG), Belo Horizonte, MG – Brasil

Paulo Andrade Lotufo – Universidade de São Paulo (USP), São Paulo, SP –

Brasi

Paulo Cesar B. V. Jardim – Universidade Federal de Goiás (UFG), Brasília, DF – Brasil

Paulo J. F. Tucci – Universidade Federal de São Paulo (UNIFESP), São Paulo, SP –

Paulo R. A. Caramori – Pontifícia Universidade Católica do Rio Grande do Sul (PUCRS), Porto Alegre, RS – Brasil

Paulo Roberto B. Évora – Universidade de São Paulo (USP), São Paulo, SP – Rrasil

Paulo Roberto S. Brofman – Instituto Carlos Chagas (FIOCRUZ/PR), Curitiba. PR – Brasil

Pedro A. Lemos – Hospital das Clínicas da Faculdade de Medicina da USP (HCFMUSP), São Paulo, SP – Brasil

Protásio Lemos da Luz – Instituto do Coração do Hcfmusp (INCOR), São Paulo, SP – Brasil

Reinaldo B. Bestetti – Universidade de Ribeirão Preto (UNAERP), Ribeirão Preto, SP – Brasil

Renato A. K. Kalil – Instituto de Cardiologia do Rio Grande do Sul (IC/FUC), Porto Alegre, RS – Brasil

Ricardo Stein – Universidade Federal do Rio Grande do Sul (UFRS), Porto Alegre, RS – Brasil

Salvador Rassi – Faculdade de Medicina da Universidade Federal de Goiás (FM/GO), Goiânia. GO – Brasil

Sandra da Silva Mattos – Real Hospital Português de Beneficência em Pernambuco, Recife, PE – Brasil

Sandra Fuchs – Universidade Federal do Rio Grande do Sul (UFRGS), Porto Alegre, RS – Brasil

Sergio Timerman – Hospital das Clínicas da Faculdade de Medicina da USP (INCOR HC FMUSP), São Paulo, SP – Brasil

Silvio Henrique Barberato – Cardioeco Centro de Diagnóstico Cardiovascular (CARDIOECO), Curitiba, PR – Brasil

Tales de Carvalho – Universidade do Estado de Santa Catarina (UDESC), Florianópolis, SC – Brasil

Vera D. Aiello – Instituto do Coração do Hospital das Clínicas da (FMUSP, INCOR), São Paulo, SP – Brasil

Walter José Gomes – Universidade Federal de São Paulo (UNIFESP), São Paulo, SP – Brasil

Weimar K. S. B. de Souza – Faculdade de Medicina da Universidade Federal de Goiás (FMUFG), Goiânia, GO – Brasil

William Azem Chalela – Instituto do Coração (INCOR HCFMUSP), São Paulo, SP – Brasil

Wilson Mathias Junior – Instituto do Coração (InCor) do Hospital das Clínicas da Faculdade de Medicina da Universidade de São Paulo (HCFMUSP), São Paulo, SP – Brasil

Exterio

Adelino F. Leite-Moreira – Universidade do Porto, Porto – Portugal

Alan Maisel – Long Island University, Nova York – Estados Unidos

Aldo P. Maggioni – ANMCO Research Center, Florença – Itália

Ana Isabel Venâncio Oliveira Galrinho – Hospital Santa Marta, Lisboa – Portugal

Ana Maria Ferreira Neves Abreu – Hospital Santa Marta, Lisboa – Portugal

Ana Teresa Timóteo — Hospital Santa Marta, Lisboa — Portugal Cândida Fonseca — Universidade Nova de Lisboa, Lisboa — Portugal

Fausto Pinto – Universidade de Lisboa, Lisboa – Portugal

Hugo Grancelli – Instituto de Cardiología del Hospital Español de Buenos

James de Lemos – Parkland Memorial Hospital, Texas – Estados Unidos

João A. Lima, Johns – Johns Hopkins Hospital, Baltimore – Estados Unidos John G. F. Cleland – Imperial College London, Londres – Inglaterra

Jorge Ferreira – Hospital de Santa Cruz, Carnaxide – Portugal

Manuel de Jesus Antunes – Centro Hospitalar de Coimbra, Coimbra – Portugal

Marco Alves da Costa – Centro Hospitalar de Coimbra, Coimbra – Portugal Maria João Soares Vidigal Teixeira Ferreira – Universidade de Coimbra, Coimbra – Portugal

Sociedade Brasileira de Cardiologia

Presidente	Coordenadora de Ciência, Tecnologia	SBC/CE – Gentil Barreira de Aguiar Filho
Marcelo Antônio Cartaxo Queiroga Lopes	e Inovações Ludhmila Abrahão Hajjar	SBC/DF – Alexandra Oliveira de Mesquita
Vice-Presidente	Luuliilila Abrallao Hajjai	•
Celso Amodeo	Coordenador de Educação Médica Continuada	SBC/ES – Tatiane Mascarenhas Santiago Emerich
Diretor Financeiro	Brivaldo Markman Filho	
Ricardo Mourilhe Rocha	Divado Markilan Hillo	SBC/GO – Leonardo Sara da Silva
Diretor Científico	Coordenadora de Acompanhamento da Gestão e Controle Interno	SBC/MA – Mauro José Mello Fonseca
Fernando Bacal	Gláucia Maria Moraes de Oliveira	SBC/MG – Henrique Patrus Mundim Pena
	Giaucia Maria Moraes de Oliveira	SBC/MO - Heinique Factus Munanii Fena
Diretor Administrativo	Coordenador de Compliance	SBC/MS – Gabriel Doreto Rodrigues
Olga Ferreira de Souza	e Transparência	Ŭ
Diretor de Qualidade Assistencial	Marcelo Matos Cascudo	SBC/MT – Marcos de Thadeu Tenuta Junio
•		CDC/NINE NEW LIFE AARTHUR ELECTION
Sílvio Henrique Barberato	Coordenador de Assuntos Estratégicos	SBC/NNE – Nivaldo Menezes Filgueiras Filho
Diretor de Comunicação	Hélio Roque Figueira	Tillio
Harry Corrêa Filho	Editor do ABC Cardiol	SBC/PA – Dilma do Socorro Moraes de Souza
Diretor de Tecnologia da Informação	Carlos Eduardo Rochitte	
Leandro Ioschpe Zimerman		SBC/PB – Lenine Angelo Alves Silva
•	Editor do IJCS	
Diretor de Relações Governamentais	Claudio Tinoco Mesquita	SBC/PE – Fernando Ribeiro de Moraes Neto
Nasser Sarkis Simão	Coordenador da Universidade do Coração	SBC/PI – Luiz Bezerra Neto
Diretor de Relação com Estaduais e Regionais	Evandro Tinoco Mesquita	SBC/PR – Raul DAurea Mora Junior
João David de Souza Neto		SDC/1 K - Kaul DAulea Mola Julioi
D' (Coordenador de Normatizações e Diretrizes	SOCERJ – Wolney de Andrade Martins
Diretor de Promoção de Saúde Cardiovascular – SBC/Funcor		,
•	Brivaldo Markman Filho	SBC/RN – Maria Sanali Moura de Oliveira
José Francisco Kerr Saraiva	Presidentes das Soc. Estaduais e Regionais	Paiva
Diretora de Departamentos Especializados	SBC/AL – Carlos Romerio Costa Ferro	SOCERON – Daniel Ferreira Mugrabi
Andréa Araujo Brandão	SDC/AL - Carlos Romerio Costa Perro	SOCERON - Damer Ferreira Mugrabi
· · · · · · · · · · · · · · · · · · ·	SBC/AM – Kátia do Nascimento Couceiro	SOCERGS – Mario Wiehe
Diretor de Pesquisa		
David de Pádua Brasil	SBC/BA – Gilson Soares Feitosa Filho	SBC/SC – Amberson Vieira de Assis

Presidentes dos Departamentos Especializados e Grupos de Estudos

DEIC/GEICPED – Estela Azeka

SBC/DIC - Carlos Eduardo Rochitte

SBC/DA - Antonio Carlos Palandri Chagas

•	8	,
SBC/DCC – Bruno Caramelli	SBCCV – Eduardo Augusto Victor Rocha	DEIC/GEMIC – Marcus Vinicius Simões
SBC/DCC/CP – Klebia Magalhães Pere Castello Branco	eira SOBRAC – Ricardo Alkmim Teixeira	DERC/GECESP – Clea Simone Sabino de Souza Colombo
SBC/DCM – Celi Margues Santos	SBHCI – Ricardo Alves da Costa	
SBC/DCW - Cell Marques Salitos		DERC/GECN – Lara Cristiane Terra
SBC/DECAGE – Izo Helber	DCC/GAPO – Danielle Menosi Gualandro	Ferreira Carreira
SBC/DEIC – Evandro Tinoco Mesquit	DCC/GECETI – Luiz Bezerra Neto	DERC/GERCPM – Carlos Alberto
SDC/DETC Evaluato Tilloco Mesquit		Cordeiro Hossri
SBC/DERC – Gabriel Leo Blacher Gro	ossman DCC/GECO – Roberto Kalil Filho	
•		GECIP – Marcelo Luiz da Silva Bandeira
SBC/DFCVR – Antoinette Oliveira Bla	lackman DCC/GEMCA – Roberto Esporcatte	
		GEECG – Carlos Alberto Pastore
SBC/DHA – Audes Diógenes de	DCC/GERTC – Adriano Camargo de	
Magalhães Feitosa	Castro Carneiro	DCC/GETA - Carlos Vicente Serrano Junior
=		

Arquivos Brasileiros de Cardiologia

Volume 115, Nº 4, Supl. 2, Outubro 2020

Indexação: ISI (Thomson Scientific), Cumulated Index Medicus (NLM), SCOPUS, MEDLINE, EMBASE, LILACS, SciELO, PubMed



Av. Marechal Câmara, 160 - 3º andar - Sala 330 20020-907 • Centro • Rio de Janeiro, RJ • Brasil Tel.: (21) 3478-2700

E-mail: arquivos@cardiol.br abccardiol.org

Departamento Comercial Telefone: (11) 3411-5500 e-mail: comercialsp@cardiol.br

Produção Editorial SBC - Tecnologia da Informação e Comunicação Núcleo Interno de Publicações Produção Gráfica e Diagramação SBC - Tecnologia da Informação e

Comunicação

Núcleo Interno de Design

Os anúncios veiculados nesta edição são de exclusiva responsabilidade dos anunciantes, assim como os conceitos emitidos em artigos assinados são de exclusiva responsabilidade de seus autores, não refletindo necessariamente a opinião da SBC.

Material de distribuição exclusiva à classe médica. Os Arquivos Brasileiros de Cardiologia não se responsabilizam pelo acesso indevido a seu conteúdo e que contrarie a determinação em atendimento à Resolução da Diretoria Colegiada (RDC) nº 96/08 da Agência Nacional de Vigilância Sanitária (Anvisa), que atualiza o regulamento técnico sobre Propaganda, Publicidade, Promoção e informação de Medicamentos. Segundo o artigo 27 da insígnia, "a propaganda ou publicidade de medicamentos de venda sob prescrição deve ser restrita, única e exclusivamente, aos profissionais de saúde habilitados a prescrever ou dispensar tais produtos (...)".

Garantindo o acesso universal, o conteúdo científico do periódico continua disponível para acesso gratuito e integral a todos os interessados no endereço: www.arquivosonline.com.br.





Filiada à Associação Médica Brasileira

APOIO





Ministério da Educação

Ministério da Ciência e Tecnologia





Resumo das Comunicações

XXXII CONGRESSO DA SOCIEDADE DE CARDIOLOGIA DO ESPÍRITO SANTO VITÓRIA - ESPÍRITO SANTO



Congresso da Sociedade Brasileira de Cardiologia do Espírito Santo



22 e 23, 29 e 30 de Outubro de 2020







TEMAS LIVRES - 22, 23, 29 E 30/10/2020 APRESENTAÇÃO PÔSTER ELETRÔNICO

57412

IMPACTO PROGNÓSTICO DA INSUFICIÊNCIA RENAL AGUDA NA INSUFICIÊNCIA CARDÍACA DESCOMPENSADA

CAROLINE FEU ROSA CARRERA, LAYANE BONFANTE BATISTA, GABRIELLA MARTINS CURCIO, PIETRO DALLORTO LIMA, LUCAS CRESPO DE BARROS, RENATO GIESTAS SERPA, OSMAR ARAUJO CALIL, ROBERTO RAMOS BARBOS, e LUIZ FERNANDO MACHADO BARBOSA

ESCOLA DE MEDICINA DA SANTA CASA DE MISERICÓRDIA DE VITÓRIA VITORIA, ES, BRASIL.

Introdução: A insuficiência cardíaca descompensada (ICD) configura quadro grave com elevado risco de óbito. Neste contexto, a insuficiência renal aguda (IRA) ter relação bilateral de causa e efeito, podendo piorar significativamente o prognóstico Contudo, a interação entre IRA e ICD é pouco estudada em nosso meio. Este estudo teve como objetivo avaliar a ocorrência de IRA em pacientes internados por ICD e analisar seu impacto prognóstico durante a hospitalização. Métodos: Estudo prospectivo observacional unicêntrico que incluiu pacientes internados por ICD em un hospital-escola de nível terciário, realizado entre julho de 2017 e janeiro de 2020 Foram comparados os pacientes que desenvolveram IRA durante a internação com o que não a desenvolveram. Definiu-se IRA como o aumento sérico da creatinina maio ou igual a 0,3 mg/dl em 48 horas, aumento de 1,5 vezes na creatinina basal em 7 dia ou volume urinário < 0.5 ml/kg/h por seis horas, de acordo com o critérioAcute Kidne Injury Network (AKIN). Os desfechos analisados foram óbito, necessidade de ventilação mecânica invasiva (VMI) e tempo de internação. Análise estatística Foram utilizados os testes de Wilcoxon, Mann-Whitney e t de student não-pareado Resultados: Foram incluídos 99 pacientes, com média de idade 65,4 ± 14 anos sendo 47 (47 5%) do sexo masculino e 52 (52 5%) do sexo feminino. Fração de ejeção reduzida foi observada em 77,8% dos pacientes, e 22,8% tinham diagnóstico de IG com fração de ejeção preservada. Os perfis de descompensação foram A=7 (7.1%) B=72 (72,7%), C=15 (15,1%) e L=5 (5,1%). A fração de ejeção média foi de 38,3% : 15. IRA foi observada em 22 pacientes (22,2%). Na comparação entre os paciente que evoluíram com e sem IRA, observou-se diferença significativa em relação ortalidade (36,4% vs 10,4%, p=0,004) e à necessidade de VMI (54,5% vs 13% p=0,0001). Não houve diferença em relação ao tempo de internação entre os grupos (22,9 ± 19 vs 18,8 ± 16 dias). Conclusões: A ocorrência de IRA foi frequente er pacientes internados por ICD, sendo observada em aproximadamente um a cada cinco pacientes. Esta complicação se associou significativamente com aumento de mortalidade e da necessidade de VMI durante a internação hospitala

57636

FATORES DE RISCO CARDIOVASCULARES ENTRE ESTUDANTES DE MEDICINA DA UNIREDENTOR

ADAUTO G P NETO, RONNY S M LOPES, VITOR S MACHADO e MATTHEWS B

UNIREDENTOR, ITAPERUNA, R.J. BRASIL.

ntrodução: A Hipertensão Arterial Sistêmica está diretamente relacionada ao estilo de vida e, diante disso, o estudante de Medicina devido as incumbencias está sucetive ao contexto da doença. Em decorrência, há uma divergência entre o discurso dos futuros profissionais médicos e a sua prática de estilo de vida. Métodos: A amostra de estudantes da Uniredentor, buscando avaliar critérios como: Sedentarismo Alcoolismo, uso de Tabaco e o Índice de Massa corporal(IMC). Diante disso, a massa corporal foi sabida em relação a última pesagem dos pesquisados. O IMC foi obtido pela eguação: peso (Kg) / guadrado da altura (m). Para a obtenção dos dados sobre a atividade física, foi avaliado o ponto de corte mínimo de 150 minutos semanais, abaixo sendo considerado com o fator de risco e acima sem o fator de risco. A história abagística foi coletada pelo Questionário de Tolerância de Fagëstrom. Por fim, a identificação do padrão de consumo de álcool, foi usado o instrumento Alcohol Use Disorder Identification Test – AUDIT. Resultados: A análise dos dados adquiridos pelo questionário AUDIT, constata-se o escore médio dividido por períodos do Centro Universitário Redentor, sendo este de 4.5 para o primeiro período: 5.6 para o segundo; 4,2 para o terceiro; 2,8 no quinto; 5,4 no sétimo; 3,8 no nono período; e 7 no décimo. Com relação ao Índice de Massa Corporal (IMC), também levado em consideração como fator preditor de risco, observou-se que a média, em mesma ordem de períodos, variou, sendo 25,03 para o primeiro período; 24,06 par o segundo; 23 04 para o terceiro: 21 16 para o quinto: 20 29 em relação ao sétimo: 22 72 para o nono; e 25,02 para o décimo. A escala de Fagëstrom, por sua vez, explicitou a baixa prevalência de discentes fumantes, totalizando-se apenas dois indivíduos durante os períodos já citados. Em relação à atividade física, é possível verificar seu tempo nédio com relação aos períodos, sendo este de 138 minutos semanais para com o primeiro período: 100 minutos semanais para com o segundo: 72 minutos semanais com relação ao terceiro; 127 minutos semanais para o quinto; 202 minutos semanais no sétimo período: 90 minutos semanais para com o nono: e 144 minutos semanais em relação ao décimo período. Conclusão: inexiste discrepância dos fatores de risco em relação às médias brasileiras e a progressão do curso.

57650

APLICAÇÃO DE TERAPIA COM ECMO PARA TRATAMENTO DE TEMPESTADE ELÉTRICA PÓS INFARTO AGUDO DO MIOCÁRDIO

ASSAD M SASSINE, ARI ANTONIO STEIN LIMA JUNIOR, VICTOR MONTEIRO DIAS SAADEH, ELISA ITO MENDES, TAYS SILVA DE ARAUJO STEIN e RAMON OTT VARGAS

CIRCULAES, VITÓRIA, ES, BRASIL - HOSPITAL EVANGÉLICO VILA VELHA, VILA VELHA, ES, BRASIL - FACULDADE BRASILEIRA - MULTIVIX, VITÓRIA, ES, BRASIL.

Introdução: A Oxigenação por Membrana Extracorpórea (ECMO) vem se tornando prática comum no suporte de indivíduos com disfunção cardíaca e/ou pulmonar. ECMO venoarterial (VA) é frequentemente utilizada com sucesso para estabilização de pacientes pós infarto agudo do miocárdio, parada cardiorrespiratória e dificuldade de desmame de Circulação Extracorpórea. Neste relato é apresentado o caso de un paciente que recebeu terapia com ECMO VA para suporte hemodinâmico durante fibrilação ventricular refratária. Descrição de caso: Homem, 62 anos, tabagista, etilista e sedentário, deu entrada em servico de referência cardiológica com dor torácica típica eletrocardiograma evidenciando supradesnivelamento de segmento ST há 5 horas Na admissão realizado angioplastia de coronária direita. Apresentou instabilidad hemodinâmica no 3º dia de internação, submetido à cateterismo que revelou oclusão de artéria coronária direita em óstio, ocasião em que foi recanalizada. Apresentav ainda lesões importantes em descendente anterior e circunflexa. Evoluiu com arritmia rentriculares malignas no 8º e 11º dia de internação. Submetido a novo cateterisr para tratamento das lesões citadas. Manteve fibrilação ventricular persistente, apesa de desfibrilação elétrica e uso de antiarrítmicos. Solicitada avaliação por equipe d suporte circulatório que procedeu implante de ECMO-VA com canulação jugulo 23 e femoral 15, com reperfusão de membro, para suporte de ventrículo direito. C manejo ocorreu com paciente extubado, acordado, participativo, com fisioterapi e nutrição ativas. Houve remissão imediata das arritmias, e melhora de função ventricular gradativa. Foi realizado ecocardiograma seriado e teste hemodinâmi com boa evolução permitindo o desmame da FCMO-VA no 25º dia de internação decanulação no 26º. Paciente evoluiu sem intercorrências ou novas arritmias até alta hospitalar. Conclusão: A ECMO se mostrou uma excelente ferramenta para suporte hemodinâmico ao paciente com fibrilação ventricular refratária após infarto agudo do miocárdio neste caso. Foi demonstrada segurança e efetividade da terapia até estabilização elétrica do miocárdio atordoado. Corrobora assim a importância da ECMO e o manejo com o paciente extubado, participativo, com fisioterapia e nutrição

63103

COMPARAÇÃO ENTRE AS VIAS DE ACESSO FEMORAL, RADIAL NO PROCESSO ESTILOIDE E RADIAL NA TABAQUEIRA ANATÔMICA EM PROCEDIMENTOS CORONÁRIOS INVASIVOS

RAMON CHIABAI MOURA, INGRID ARDISSON COLODETE, PIETRO DALLORTO LIMA, VITOR MARTINELLI BATISTA ROLIM, RENATO GIESTAS SERPA, LUIZ FERNANDO MACHADO BARBOSA & ROBERTO RAMOS BARBOSA

1) ESCOLA DE MEDICINA DA SANTA CASA DE MISERICÓRDIA DE VITÓ, VITÓRIA, ES, BRASIL - SANTA CASA DE MISERICÓRDIA DE VITÓRIA, VITÓRIA, ES, BRASIL.

ntrodução: O emprego da via de acesso radial na cardiologia intervencionista vem prescendo nos últimos anos por proporcionar menor índice de complicações vasculares A punção da artéria radial ao nível da tabaqueira anatômica consiste numa técnica ecentemente descrita, com potenciais benefícios adicionais. Este estudo teve como objetivo analisar as complicações relacionadas à via de acesso utilizada em procedimentos coronários diagnósticos e terapêuticos. Métodos: Estudo prospectivo observacional unicêntrico realizado entre 12/2018 e 01/2020, com coleta de dados acerca da via de acesso arterial utilizada em procedimentos de cineangiocoronariografía e intervenção coronária percutânea (ICP). As vias de acesso femoral, radial no processo estiloide e radial na tabaqueira anatômica foram comparadas quanto a complicações do sítio de punção e transição da via de acesso (crossover). Foram utilizados os testes do qui-quadrado, de Fisher, ANOVA e t de student. Resultados: Dos 748 procedi ealizados, 388 (51,9%) foram por via radial no processo estiloide (RPE), 208 (27,8%) por via femoral (FEM) e 152 (20,1%) por via radial na tabaqueira anatômica (RTA). Foram realizadas 541 (72.3%) cineangiocoronariografias, 128 (17.1%) ICPs e 79 10,5%) procedimentos combinados de cineangiocoronariografia + ICP. A proporção de pacientes do sexo masculino foi de 56.7% no grupo RPE, 47.6% no grupo FEM 70,4% no grupo RTA (p=0,01). A média de idade foi de 64,3 ± 11 no grupo RPE, 67.6 ± 13 no grupo FEM e 63.0 ± 10 no grupo RTA (p=0.12). A taxa de crossove oi de 6,2% no grupo RPE, 1,0% no grupo FEM e 9,9% no grupo RTA (p=0,001), e a incidência de complicações foi de 0,5% no grupo RPE, 2,9% no grupo FEM e 0% no grupo RTA (p=0,008). As complicações observadas foram: 2 hematomas locais no grupo RPE; 4 hematomas locais, 1 pseudoaneurisma e 1 sangramento ativo no grupo FEM. Conclusões: O acesso radial com punção na tabaqueira anatômica foi realizada em homens numa maior proporção do que as demais vias de acesso, e não houve diferença de idade quanto às vias RPE, FEM e RTA. Apesar da maior taxa de crossover, o grupo RTA apresentou menor incidência de complicações do sítio de punção quando comparado aos grupos FEM e RPE. Esta via de acesso, quando factível, parece ser

Arg Bras Cardiol. 2020; 115(4):1-9 1

Resumos Temas Livres



63240

INSUFICIÊNCIA CARDÍACA DESCOMPENSADA: O IMPACTO DA SUSPENSÃO DOS MEDICAMENTOS CRÔNICOS REDUTORES DE MORTALIDADE

THALES SCHWARTZ DUARTE MARTINS, INGRID ARDISSON COLODETE, GABRIELA LIRA DEVENS, MATEUS DAROZ GONÇALVES, PIETRO DALLORTO LIMA, RENATO GIESTAS SERPA, OSMAR ARAUJO CALIL, ROBERTO RAMOS BARBOSA E LUIZ FERNANDO MACHADO BARBOSA

ESCOLA DE MEDICINA DA SANTA CASA DE MISERICÓRDIA DE VITÓRIA , VITÓRIA, ES, BRASIL - HOSPITAL SANTA CASA DE MISERICÓRDIA DE VITÓRIA VITÓRIA ES BRASIL.

Introdução: O manejo clínico ambulatorial de pacientes com insuficiência cardíaca (IC) é fundamental para redução de mortalidade relacionada a esta doença. Na IC descompensada é recomendada a manutenção das drogas redutoras de mortalidade porém é frequente a suspensão das mesmas. O objetivo deste estudo é avaliar o impactr da suspensão das medicações redutoras de mortalidade na IC durante internação po ompensação. Métodos: Estudo prospectivo observacional unicêntrico realizado entr 14/12/2016 e 01/02/2020 com inclusão de pacientes internados por IC descompensada Foram excluídos os pacientes sem diagnóstico prévio de IC e sem uso das medicaçõe recomendadas para aumento da sobrevida. Os pacientes foram comparados quanto a suspensão ou não das drogas redutoras de mortalidade na IC (betabloqueadores, IECA BRA ou sacubitril/valsartana, espironolactona) durante a hospitalização. Foram analisado como desfechos a ocorrência de óbito intra-hospitalar, insuficiência renal aguda (IRA necessidade de ventilação mecânica (VM) durante a internação e tempo de internação A análise estatística utilizou os testes de Wilcoxon, Mann-Whitney e t de student não pareado Resultados Foram incluídos 99 pacientes 47.5% do sexo masculino, média de idade 65,4 ±14 anos, fração de ejeção média 38,3 ±15%. Do total, 62 paciente (62,6%) constituíram o grupo em que as medicações de uso crônico foram mantidas ve 37 pacientes (37,4%) o grupo em que os fármacos foram suspensos. O perfil C ou L fo observado em 11.3% no grupo manutenção vs 32.4% no grupo suspensão (p=0.008). En relação aos desfechos a comparação entre os grupos suspensão vs manutenção dos medicamentos demonstrou mortalidade de 9,7% vs 27% (p=0,02), IRA 35,5% vs 29,7% (p=0,55), tempo médio de internação 16,8 dias vs 20,6 dias (p=0,15) e necessidade de VM 14,5% vs 35,1% (p=0,01). Conclusão: A descontinuação do tratamento medicamentos da IC na descompensação se associou a aumento de mortalidade intra-hospitalar, d incidência de IRA e da necessidade de VM. Houve major proporção de descompensaçõe em perfil C ou L no grupo suspensão, mas com maioria de perfil B em ambos os grupos Devem ser mantidos os medicamentos redutores de mortalidade durante o quadro d descompensação sob o risco de aumento da morbimortalidade e a necessidade d suspensão deve ser encarada como marcador de mau prognóstico

63250

FATORES DE RISCO CARDIOVASCULAR, ESTILO DE VIDA E DETERMINANTES SOCIAIS EM UM ESTUDO POPULACIONAL TRANSVERSAL – ESTUDO LAPARC

RODRIGO EUGÊNIO VINUTO BORGES, DÉBORA DE CASTRO ROCHA WANDERMUREM, FELIPE REY COSTA TOSTES, JOÃO VICTOR HOLLANDA, FLAVIA CAMPOS FERREIRA LIBORIO, LETÍCIA ZARUR JUNQUEIRA DE ANDRADE, FERNANDA DO VALLE KANGUSSU, LUCAS ANTEQUERA, FERNANDA COSTA BARRADAS, SÁVIO FERREIRA RIBEIRO E ANA CRISTINA TENÓRIO DA COSTA FERNANDES

UNIVERSIDADE ESTÁCIO DE SÁ, RIO DE JANEIRO, RJ, BRASIL

Fundamento: A influência de fatores socioeconômicos sobre o risco cardiovascular frequentemente é subestimada em estudos epidemiológicos. Objetivo: Avaliar a relação entre os principais fatores de risco cardiovascular e indicadores socioeconômicos en uma população de adultos entre 20 e 50 anos cadastrados em uma unidade da Estratégia Saúde da Família no centro do município do Rio de Janeiro. Estudo LapARC. Métodos Estudo transversal populacional que incluiu adultos entre 20 e 50 anos residentes na área de abrangência da ESF da Lapa no do Rio de Janeiro. Estudo aprovado pelo CEP da instituição. No cadastro inicial são registrados dados demográficos (sexo, idade e estade civil), socioeconômicos (escolaridade, profissão, vínculo empregatício), fatores de risco CV tradicionais (tabagismo, sedentarismo, obesidade, hipertensão, diabetes, dislipidemia). Todo são submetidos a exames laboratoriais para avaliar o perfil metabólico. Consideramos baix: escolaridade aqueles que estudaram somente até o ensino médio completo. Resultados Foram cadastrados 604 indivíduos [39,1% gênero masculino, idade média: 38,8 (9,0) anos] A mediana de escolaridade foi de 12 anos, sendo que 170 (28,1%) indivíduos tinham alta escolaridade, sendo 57 (24,2%) do sexo masculino e 113 (30,7%) do feminino. Um total de 102 (16,9%) não estudam nem trabalham, sendo 19,6% entre as mulheres e 12,7% entre os homens. Mulheres com baixa escolaridade tiveram maior risco para tabagismo (OR 2,69 (1,31-5,50)), obesidade (OR 1,71 (1,02-2,87)) e hipertensão (OR 1,93 (1,09-3,43)) e entre a: de alta escolaridade o maior risco de sedentarismo (OR 1,65(1,08-2,52)). Entre os homens a baixa escolaridade dobrou o risco de sedentarismo (OR 2.23 (1.23-4.02)) e de hipertensã (OR 1,96 (1,05-3,67)). Quanto à ocupação laboral, entre os homens não trabalhar aumentoi o risco de tabagismo (OR 3,15 (1,33-7,49)) e hipertensão (OR 3,21 (1,39-7,41)). Entre as mulheres, não trabalhar não se relacionou a nenhum fator de risco CV. Discussão: O estudo sugere que fatores sócio econômicos como baixa escolaridade e a falta de ocupação produtiva influenciam o risco CV, afetando diferentemente homens e mulheres, apontand para a necessidade de políticas públicas que revertam este quadro. Conclusão: Nesta população, encontramos uma associação inversa entre condições socioeconômicas e revalência de fatores de risco CV. Mulheres e homens são afetados pela baixa escolaridade enquanto somente os homens pela sua ocupação laborativa

63246

RASTREIO DE APNEIA OBSTRUTIVA DO SONO EM UMA POPULAÇÃO DE ADULTOS JOVENS NO CENTRO DO MUNICÍPIO DO RIO DE JANEIRO – ESTUDO LAPARC

SÁVIO FERREIRA RIBEIRO, LARA PESSANHA MAROTI, PEDRO JULIO PACHECO VELASCO, LUIZA ARAUJO NOGUEIRA, STEPHANIE SI MIN LILIENWALD OEI, FERNANDA COSTA BARRADAS, RAMON NARDE SIMÃO, LETÍCIA ZARUR JUNQUEIRA DE ANDRADE, RODRIGO EUGÊNIO VINUTO BORGES, ANA LUISA MALLET E ELIZABETH SILAID MUXFELDT

UNIVERSIDADE ESTÁCIO DE SÁ, RIO DE JANEIRO, RJ. BRASIL.

Introdução: AApneia Obstrutiva do Sono (AOS) está relacionada ao risco cardiovascular (CV), porém pouco se sabe sobre diagnóstico e rastreio de AOS para populações mais jovens. Objetivo: Avaliar o risco para AOS, o melhor método de rastreio e suas issociações com fatores de risco CV em uma população jovem assistida na Estratégia Saúde da Família (ESF) no Rio de Janeiro. Materiais e Métodos: Estudo populaciona ransversal que incluiu adultos entre 20 e 50 anos registrados na ESF/Lapa. Foram obtidas as características sociodemográficas, antropométricas e os fatores de risco CV. Foi aferida a pressão arterial de consultório (PAC) e todos foram submetidos à MRPA e à avaliação de perfil glicídico e lipídico. O risco de AOS foi avaliado pelos uestionários STOP-BANG (SB) e a Escala de Sonolência de Epworth (ESE). Pacientes com alto risco por pelo menos um dos questionários foram submetidos à polissonografia de noite inteira. Resultados: 391 indivíduos foram analisados [38,9%] homens; idade média de 38,9 ± 8,8 anos], dos quais 96 (25%) tiveram alto risco para AOS pelo SB e 143 (37%) pelo ESE. Indivíduos com alto risco pelo SB são mais relhos, com maior prevalência de obesidade, hipertensão e valores mais altos de PAC e MRPA. Por outro lado, indivíduos com alto risco pelo ESE são mais obesos com circunferência abdominal aumentada, maior prevalência de dislipidemia e síndrome metabólica. No entanto, não houve diferenca quanto à PA nesse grupo. Dentre os ndivíduos submetidos à polissonografia, 46% tiveram diagnóstico de AOS (IAH ≥ 5/ hour) e 23% de AOS moderada a grave (AHI>15/hour). O melhor preditor de AOS foi o SB, positivo em 100% dos indivíduos com AOS moderada a grave, enquanto a ESE, foi positiva em apenas 20%. Discussão: Enquanto o SB se correlacionou com fatores de risco CV e níveis pressóricos elevados, com alta especificidade para o rastreio da Apneia do Sono, a ESE se associou a um pior perfil metabólico, não parece ser um bom método de rastreio para AOS nesta população. Conclusão: A população estudada apresentou alta prevalência e risco para AOS. O rastreio positivo pelo ESE está associado a um perfil metabólico adverso e o SB a níveis pressóricos elevados e este parece ser um melhor preditor para AOS moderada a grave nessa população.

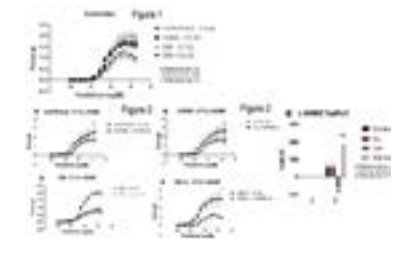
63251

REATIVIDADE VASCULAR DE AORTAS EM RATOS DIABÉTICOS EXPOSTOS À SOBRECARGA DE COBRE

JULIA ANTONIETTA DANTAS DA SILVA, DALTON VALENTIM VASSALLO (

UFES, Vitoria, ES, BRASIL.

O diabetes mellitus está associado com diversos eventos cardiovasculares como o aumento da rigidez arterial. Além disso corre um aumento da concentração plasmática de cobre, fato característico em indivíduos diabéticos. Até o momento o mecanismo fisiopatológico das complicações cardiovasculares desenvolvidas em indivíduos diabéticos relacionados aos efeitos do cobre ainda não está completamente elucidado. Dessa forma, o presente estudo busca investigar o efeito da sobrecarga crônica de cobre sobre a reatividade vascular em segmentos isolados de aorta torácica de ratos diabéticos. Para tal, utilizamos ratos Wistar de 12 semanas, com aproximadamente 200g. Os protocolos experimentais foram aprovados pela CEUA – UFES No 22/2019 Os animais foram divididos em quatro grupos experimentais: CT; Cu; DM; DM+Cu. A diabetes tipo 1 foi induzida por injeção única de estreptozotocina 50mg/kg/i.v. e os animais foram tratados com o dobro da dose recomendada diária de cobre (1.8mg/kg). Nossos principais resultados demonstraram uma redução na reatividade vascular no grupo DM+Cu (fig.1), provavelmente causada por aumento de fatores vasodilatadores, como o óxido nítrico. Foi demonstrado um aumento da biodisponibilidade de óxido nítrico nos vasos dos animais diabéticos suplementados com cobre (fig.2). Dessa forma, concluímos que a sobrecarga de cobre em ratos diabéticos causa uma redução na reatividade vascular da artéria aorta.



CACOADE B

Resumos Temas Livres

63252

CONCORDÂNCIA DO DIAGNÓSTICO DE HIPERTENSÃO PELA PRESSÃO ARTERIAL DE CONSULTÓRIO E PELA MONITORIZAÇÃO RESIDENCIAL DA PRESSÃO ARTERIAL EM UMA UNIDADE DA ESTRATÉGIA SAÚDE DA FAMÍLIA – ESTUDO LAPARC

CARLOS AUGUSTO PAREDE MACEDO MOURA, ANA CAROLINA ANTÃO CLARA MARIA DA COSTA, GABRIELA GIRÃO ALBUQUERQUE, VINICIUS LEIRIA TEIXEIRA LOUZADA, VITÓRIA FLUMIGNAN, FELIPE REY COSTA TOSTES, PEDRO HENRIQUE PIMENTA DINIZ, RODRIGO SILVA E INAH MARIA DRUMMOND PECLY

UNIVERSIDADE ESTÁCIO DE SÁ. RIO DE JANEIRO. RJ. BRASIL

Fundamento: Diretrizes recentes recomendam a medida da pressão arterial (PA) fora do consultório para melhorar a acurácia do diagnóstico da Hipertensão Arterial (HA). OBJETIVO Avaliar a concordância entre o diagnóstico de HA pela medida de consultório (PAC) e pel MRPA em uma população de adultos jovens em uma unidade de Estratégia Saúde da Família MÉTODOS: Estudo populacional transversal com adultos entre 20 e 50 anos registrados no Estratégia Saúde da Família no centro do município do Rio de Janeiro. Aprovado pelo Comitro de Ética e Pesquisa da instituição. Na entrada do estudo são registradas as característica odemográficas, antropométricas e os fatores de risco CV. A PAC foi det calculando o valor médio de 2 medidas consecutivas em 2 ocasiões (Omron-705CP) e MRPA seguiu o protocolo de 7 días com 2 medidas pela manhã e 2 à noite (28 medidas). For considerado normal a PA <135 x 85 mmHg na MRPA e PAC <140 x 90mmHg. Classificou-s os indivíduos em 4 grupos: Normotensão (PAC e MRPA controladas); HA do jaleco branco (PAC não controlada e MRPA controlada); HA mascarada (PAC controlada e MRPA não controlada) e HA sustentada (PAC e MRPA não controladas). Resultados: Foram avaliados 389 indivíduos (37,3% sexo masculino; idade média: 39,8±8,6 anos). Sedentarismo (43%) dislipidemia (38%) e obesidade (26%) foram os principais fatores de risco CV identificados. prevalência de Hipertensão pela PAC foi de 15.5% enquanto pela MRPA foi de 18% porér prevalenta de inperensad pela PAC foi de 15.3% enqualno pela invirar foi de 16%, potento coefficiente kappa de correlação entre as 2 medidas foi baixo (kappa=0,385). Depois de MRPA, 68 indivíduos (17,5%) mudaram o diagnóstico, sendo 39 (10%) com HA mascarada e 29 (7,5%) com HA do jaleco branco. As variáveis que se associaram independentemente con diagnóstico pela PAC foram sexo masculino (OR 2,20 (1,20-4,04) e a sindrome metabólica (OR 4.82 (1,98-11,73). E as que se associaram ao diagnóstico pela MRPA foram a síndrom metabólica (OR 3,83 (1,65-8,88), circunferência cervical aumentada (OR 3,02 (1,19-7,71) o idade (OR 1.83 (1.03-3.25). Discussão: Apesar de se tratar de uma população mais jove a prevalência de HA foi elevada e se associou fortemente à obesidade. Este estudo aponta para a importância da medida fora de consultório para o diagnóstico de HA nesta população Conclusão: A concordância entre PAC e MRPA foi baixa nesta população de adultos joven com 17,5% dos indivíduos mudando o diagnóstico após a MRPA

63258

INTERVENÇÃO CORONÁRIA PERCUTÂNEA EM BIFURCAÇÕES: ANÁLISE ATUAL SOBRE TÉCNICAS, DOSE DE RADIAÇÃO E VOLUME DE CONTRASTE IITII IZADOS

MATEUS DAROZ GONÇALVES, LUÍSA ZAMPERLINI PAQUINI, THAIS KELLEN RIBEIRO DA SILVA, THALES SCHWARTZ DUARTE MARTINS, PIETRO DALLORTO LIMA, VITOR MARTINELLI BATISTA ROLIM, OSMAR ARAUJO CALIL, RENATO GIESTAS SERPA, ROBERTO RAMOS BARBOSA E LUIZ FERNANDO MACHADO BARBOSA

ESCOLA DE MEDICINA DA SANTA CASA DE MISERICÓRDIA DE VITÓRIA, VITÓRIA, ES, BRASIL - HOSPITAL SANTA CASA DE MISERICÓRDIA DE VITÓRIA, VITÓRIA, ES BRASII.

ntrodução: A abordagem percutânea de leões em bifurcações coronárias está relacionad a procedimentos complexos e a maior risco de complicações precoces e tardias. Embora a ratégia provisional com um stent seja a mais comum, sendo recomendada na maioria dos casos e apresentando menor taxa de reestenose intrastent, a abordagem de lesões mais desafiadoras exigindo técnicas com dois stents é cada vez mais frequente. Este estudo teve como objetivo analisar as intervenções coronárias percutâneas (ICPs) em bifurcações quanto às técnicas utilizadas, e compará-las com dados de ICPs em lesões não-bifurcação. Métodos: Estudo prospectivo observacional unicêntrico realizado entre 05/12/2018 e 07/01/2020 por meio da análise de dados de ICPs. Foram comparados os casos considerados lesões em bifurcações (envolvimento de ramo lateral com diâmetro >2,0mm) com casos não-bifurcação. As variáveis analisadas foram tempo total de fluoroscopia, dose total de radiação, volume de contraste utilizado e via de acesso escolhida. O grupo bifurcação foi analisado quanto às técnicas utilizadas. Análise Estatística: compreendeu os testes do qui-quadrado, de Fisher e t de student. Resultados: Foram realizados no total 785 procedimentos, dos quais 227 (28,9%) foram ICPs, sendo 58 delas (25,5%) em bifurcações. Na comparação entire bifurcação e não-bifurcação, observou-se sexo masculino em 70,7% vs 66,9% (p=0,58), média de idade 68,5 ± 11 vs 65.6 ± 12 anos (p=0.14), tempo de fluoroscopia 22.8 ±13 vs 11.6 ± 8 minutos (p=0.001) se de radiação 13.809 ± 9.018 vs 7.633 ± 5.217 mGy (p=0,001), volume de contraste 203 ± 125 vs 136 ± 92 ml (p=0,004). Observou-se diferença entre os grupos em relação à escolha da via de acesso (femoral = 48,3% vs 31,4%, radial/ulnar = 51,7% vs 68,6%, p=0,02). At técnica de ICP em bifurcações mais empregada foi a provisional com um único stent (67,2%). As demais técnicas utilizadas foram a T and Protrusion (TAP) (12,1%), Double-Kissing Crush 8,6%), T-stent (5,2%), V-stent (5,2%), Mini-Crush (3,4%), e Culotte (1,7%). Conclusões: As ICPs em lesões tipo bifurcações resultaram em maior dose de radiação, maior tempo de fluoroscopia, maior volume de contraste e menor uso do acesso radial/ulnar em relação a lesões não-bifurcação. A técnica de ICP em bifurcações mais empregada foi a provisional com um stent. Diversas técnicas com dois stents foram também utilizadas, porém em meno

63261

MIOCARDITE EOSINOFÍLICA COM REMISSÃO ESPONTÂNEA EM PACIENTE FEMININA: RELATO DE CASO

ISABELA FAVARATO BENEDITO, NAYARA ZANETTI COMERIO e PAULO ROBERTO ANGELETE ALVAREZ BERNARDES

CENTRO UNIVERSITÁRIO DO ESPÍRITO SANTO, COLATINA, ES, BRASIL.

Introdução: A miocardite eosinofilica é uma afecção incomum que consiste em infiltrado eosinofílico miocárdico, necrose e perda estrutural, podendo ser desencadeada por doenças autoimunes, infecções, neoplasias ou como parte de uma síndrome hipereosinofílica(SH). Há variação entre quadros subclínicos assintomáticos até manifestações fulminantes. O diagnóstico inicial se dá com métodos não invasivos, e a confirmação por biópsia endomiocárdica. O tratamento envolve suporte terapêutico e terapia específica imunossupressora, quando indicada. Descrição de caso: Paciente 42 anos, feminina, sem antecedentes, deu entrada no Hospital Maternidade São José com dor precordial intensa, com 15 dias de evolução, associada à dispneia Na propedêutica, eletrocardiograma normal, troponina alterada e ecocardiograma mostrando edema miocárdico e disfunção sistólica bi-ventricular important Hemograma com leucocitose eosinofílica. Evoluiu com bloqueios avançado rmitentes, com crises convulsivas associadas e tomografia computadorizada de crânio normal, compatível com síndrome de Stoke Adams. Iniciado tratament de suporte, com implante de marcapasso provisório e início de vasodilatadore Tomografias de tórax e abdome normais. Realizada ressonância magnética d coração, que evidenciou realce tardio com padrão mesocárdico e multifocal, sugestiv de lesão miocárdica não aterosclerótica. Além disso, progrediu com hepatite, lev icterícia e alteração de enzimas hepáticas. Feita hipótese de SH com acometiment hepático e cardíaco. Biópsia de medula óssea excluiu eosinofilia primária. Sorologias virais e anticorpos anti-cardiolipina e anti-dsDNA normais. Cateterismo evidencio. artérias coronárias sem ateromatose. Não foi realizada biópsia endomiocárdica, poi dificuldades logísticas. Paciente evoluiu com melhora do quadro, recuperação das funções hepática, ventriculares e diminuição do edema miocárdico. Dessa forma foi associado beta-bloqueador(BB) e não houve necessidade de imunossupressão Conclusão: Em vista dos achados clínicos e exames complementares, foi proferido diagnóstico de miocardite e hepatite decorrente de SH. Paciente apresentou bos evolução com tratamento de suporte, BB e vasodilatadores. Não foi possível realizar a biópsia endomiocárdica por sérias dificuldades logísticas inerentes ao sistema público

63306

DESFECHO INTRA-HOSPITALAR NO SERVIÇO DE CIRURGIA CARDIOVASCULAR EM UM HOSPITAL DE VILA VELHA-ES NO ANO DE 2019

ASSAD MOGUEL SASSINE, E RAFAEL OLIVEIRA DE SOUSA

HOSPITAL EVANGÉLICO DE VILA VELHA, VILA VELHA, ES, BRASIL

ntrodução: : As doenças cardiovasculares são a principal causa de óbito no país podendo apresentar desfechos críticos que necessitem de abordagem cirúrgica. . Frente a isso, é de elevada significância para qualquer serviço cirúrgico, em especial o de Cirurgia Cardiovascular, identificar e ponderar sobre os indicadores de resultado do trabalho desempenhado ao longo do tempo. De acordo com a última atualização da Society of Thoracic Surgeons Adult Cardiac Surgery, no ano de 2017 foram ealizados 292.500 procedimentos cirúrgicos cardíacos. Foram analisados sete procedimentos principais: cirurgia de revascularização do miocárdio (CRVM), troca valvar aórtica (TVA), troca valvar mitral (TVM), reparo de valva mitral (VM), TVA + CRVM, TVM + CRVM e reparo de VM + CRVM. Métodos: Trata-se de um estudo descritivo observacional do tipo transversal retrospectivo realizado através da coleta de dados de prontuário eletrônico de pacientes submetidos à cirurgia cardiovascula no ano de 2019. Foram incluídos pacientes submetidos a procedimento cirúrgico, que ão apresentem qualquer critério de exclusão (pacientes que não tenham EuroSCORE I e STS Score calculados; que óbito tenha ocorrido após reinternação; ou que procedimento cirúrgico consista em algum tipo de suporte/assistência circulatória rimária). Resultados: Foram analisados e revisados 640 prontuários, referentes aos pacientes submetidos à intervenção cirúrgica pelo Serviço de Cirurgia Cardiovascula de um hospital Vila Velha em 2019. Registrou-se 37 óbitos intra-hospitalares (taxa de mortalidade global = 5.78%). Possuíam EuroScore II e STS Score calculados 201 pacientes, com 3 óbitos registrados dentro dessa amostragem, representando uma taxa de mortalidade de 1,492%. A média da taxa de mortalidade do EuroScore ficou em 3,491% enquanto a do STS Score ficou em 1,907%. Conclusões: É de elevada significância ponderar sobre os indicadores aqui descritos e deliberar sobre futuras condutas pré e pós cirúrgica, sendo propiciado cenário ideal para a autocrítica da equipe de cirurgia e análise das atuais resoluções do serviço.

Arq Bras Cardiol. 2020; 115(4):2-9

Arq Bras Cardiol. 2020; 115(4):2-9

Resumos Temas Livres



63384

CUSTO EFETIVIDADE DA TROMBOELASTOMETRIA (MÉTODO ROTACIONAL) NO MANEJO DO SANGRAMENTO EM PÓS OPERATÓRIO DE CIRURGIA CARDÍACA COM CIRCULAÇÃO EXTRACORPÓREA EM UM HOSPITAL FILANTRÓPICO.

CAROLYNNE FERREIRA MACHADO, AMANDA CAVALCANTE LOZER CAROLINA MÁRCIA JADIJISKY TONANI, DÉBORAH DELLABIANCA BENTO INGRED VIEIRA BARCELOS THULER, THIAGO RODRIGUES SEQUEIRA E ASSAD MOGUEL SASSINE

FACULDADE MULTIVIX , VITÓRIA , ES, BRASIL - HOSPITAL ESTADUAL EVANGÉLICO DE VILA VELHA, VILA VELHA , ES, BRASIL.

A hemorragia grave com necessidade de transfusão sanguínea e componentes é uma associação frequente à cirurgia cardíaca. Esse sangramento está relacionado com aumento da morbimortalidade e do tempo de internação e sabe-se que a transfusão de plasma fresco congelado no pós-operatório aumenta em pelo menos três vezes o risco de infecção Por esses motivos, o diagnóstico precoce e específico associado à terapia efetiva dessi sangramento é de alta relevância clínica. Os métodos convencionais existentes para avalia a coagulação (tempo de atividade da protrombina e tempo de tromboplastina parcial ativada são pouco sensíveis e refletem pobre e tardiamente a hemostasia in vivo. Já os método: viscoelásticos, como o que utiliza o tromboelastograma como metodologia rotacional, fazer uma avaliação do sangue total, dando a partir do décimo minuto, uma avaliação qualitativ da coagulação, mostrando a integração entre fibrina-plaqueta, enxergando hiperfibrinólise avaliação quantitativa das plaquetas, e mostrando deficiência de fibrinogênio. No que se refere a custos, um estudo realizado em 2012 na Alemanha, comparou a terapia padrão (TAP e PTTA) com terapia guiada por método viscoelástico (metodologia rotacional). Os custos médios da terapia hemostática foram 3.109 € por paciente no grupo convencional e 1.528 € por paciente no grupo POC. O objetivo desse estudo foi mensurar as vantagens e desvantagens do uso da tromboelastometria, através de um estudo retrospectivo o ongitudinal comparativo, com dados coletados dos prontuários de pacientes em tratamento no Hospital Evangélico de Vila Velha- ES. Foram analisados os perfis dos 231 pacientes de julho a dezembro de 2017 que utilizaram a metodologia convencional como guia para a terapia hemostática e dos 234 pacientes de julho a dezembro de 2018 que utilizaram a tetaplar heinosanta e tos 2004 patentes de billor a dezembro de zotro que dutaziant a metodología viscoelástica. Quanto a média de idades, do tempo de internação e a variação entre os sexos não houve diferença. No grupo convencional foram transfundidas 396 bolsas de hemocomponentes e no grupo viscoelástico cerca de 333 bolsas, havendo redução de cerca de 63 bolsas. No que tange aos custos relacionados ao uso de hemocomponentes, considerando o valor da bolsa de hemocomponente do Sistema Único de Saúde, no grupo convencional foram gastos R\$12.508,94 no período do estudo e R\$9.931,03 no grup viscoelástico, obtendo uma economia de 20.6%

63491

MORTALIDADE POR INFARTO AGUDO DO MIOCÁRDIO NO PERÍODO DE 2015 A 2019: UMA COMPARAÇÃO ENTRE ESPIRITO SANTO E PARANÁ.

MARIELLE NEIVA DA SILVA, e MAIRA LUISA NEIVA DA SILVA

UNIVERSIDADE FEDERAL DA INTEGRAÇÃO LATINO-AMERICANA, FOZ DO IGUAÇU, PR, BRASIL - CENTRO UNIVERSITÁRIO DE VOTUPORANGA, VOTUPORANGA, SP, BRASIL.

ntrodução: Apesar do avanço terapêutico em saúde, as doenças cardiovascularo continuam com alta morbimortalidade. O infarto agudo do miocárdio (IAM) é um problema de saúde pública no Brasil que apresenta taxa de mortalidade elevada. Diante disso, o presente estudo busca expor a mortalidade por infarto agudo do miocárdio nos estados do Espirito Santo (ES) e Paraná (PR) no período compreendido entre aneiro de 2015 e dezembro de 2019. Métodos: Foi realizado um estudo transversal de casos confirmados de óbito por infarto agudo do miocárdio nos estados do Espírito Santo e Paraná. Os dados foram obtidos pelo Departamento de Informática do SUS (DATASUS) vinculado ao Ministério da Saúde, codificados conforme a Classificação Estatística Internacional de Doenças e Problemas Relacionados à Saúde: Capítulo X: I21 para IAM. O período de estudo (2015-2019) foi escolhido por conter os dados mais recentes e indicar o atual cenário da mortalidade por IAM. Por tratar-se de dados públicos e sem identificação individual o presente estudo não precisou ser submetido ao Comitê de Ética em Pesquisas em seres humanos. Resultados: Neste período. bservou-se 5.326 óbitos por infarto agudo do miocárdio nos dois estados, sendo 965 (18,1%) no Espirito Santo e 4361 (81,8%) no Paraná. A taxa de mortalidade média do período foi de 7,74 (ES) e 11,59 (PR). A taxa de mortalidade do ES nos anos de 2015, 2016, 2017, 2018 e de 2019 foi, respectivamente, igual à 8,89; 8,71; 7,77; 7,71; 6,12. Já no PR foi de 13,49: 11,37: 10,94: 11,38: 11,00. O sexo feminino apresentou maior axa de mortalidade (9,47 - 14,19) quando comparado com o masculino (6,74 – 10,14). Notou-se o aumento da mortalidade em faixas etárias maiores e indivíduos com mai de 80 anos apresentaram a maior taxa de mortalidade no ES (20,43) e no PR (25,47). Conclusão: O infarto agudo do miocárdio é uma causa importante de mortalidade no estados do Espirito Santo e Paraná, sendo o último o que abarca a major taxa de nortalidade. Deve-se atentar ao cuidado ofertado às populações idosa e feminina, uma vez que são as mais suscetíveis a evoluirem para óbito quando manifestam a oatologia

63495

POLIÚRIA COMO MANIFESTAÇÃO CLÍNICA INICIAL DA FIBRILAÇÃO ATRIAL

LINCOLN GABRIEL DALMAZ, ALEXANDRE AUGUSTO MARCHI GUEDES, ADALBERTO MASSAKI IKEGAMI, ISABELA VIANA DE PAIVA, OTAVIO GONÇALVES D. O. ILINIOR & RENAN VICENTE STAI ING BRACA

HOSPITAL UNIVERSITARIO EVANGÉLICO DE CURITIBA, CURITIBA, MG, BRASIL.

Introdução: Fibrilação atrial (F.A.) é uma arritmia frequente em idosos e nos portadores de insuficiência cardíaca. A F.A. classifica-se em inicial, paroxística persistente e permanente, de acordo com sua ocorrência. Paroxística é aquela que termina espontaneamente, sem necessidade de cardioversão química ou elétrica. A primeira apresentação de um epsódio de F.A. pode ser uma complicação embólica ou exacerbação de insuficiência cardíaca, mas a maioria dos pacientes referen palpitações, dor torácica, dispnéia, fadiga, tontura ou síncope. Alguns indivíduos relatam poliúria no início do episódio ou por ocasião do término, em decorrência da liberação do peptídeo natriurético do tipo B (BNP). O BNP funciona como marcador da distensão miocárdica, correlacionando-se seguramente com a pressão diastólic final do ventrículo esquerdo. Durante os episódios de paroxismos das arritmias atriai há um aumento na liberação de BNP, o que acarreta um aumento reflexo da diurese levando à poliúria. Descrição de caso clínico: Paciente com 72 anos, masculino leucodérmico, portador de hipertensão arterial sistêmica, hipertrofia ventricula esquerda, hiperplasia prostática benigna vinha apresentando nos últimos meses. F.A paroxística, cuja principal manifestação clínica era poliúria, com grande impacto na sua qualidade de vida. Por esse motivo, foi optado pela tentativa de cardioversão apesa do aumento biatrial moderado ao ecocardiograma. Fazia uso domiciliar de enalapri diltiazem e rivaroxabano. Quando em ritmo sinusal (R.S.), apresentava BNP de 299 mg/dl, mas durante o período de F.A. atingia valores de 848 mg/dl. Foi admitido em nosso serviço eletivamente para estudo eletrofisiológico e realização de ablação de circuito arritmogênico por cateter de radiofrequência. Procedimento realizado sem intercorrências e com retorno ao R.S. Apresentou recorrência da F.A. nas 1ªs 24h atribuída à processo inflamatório local pós ablação e não teve sucesso inicial na tentativa de cardioversão química com antiarrítmico. Entretanto após 48h apresentou reversão espontânea para R.S. e recebeu alta hospitalar em uso de rivaroxabano amiodarona e bisoprolol. Não apresentou recorrência ambulatorial da arritmia, poliúri ou nova elevação do BNP. Conclusão: O caso descrito torna-se interessante poi descreve uma apresentação clínica não usual da F.A. e sua relação direta com o níveis sanguíneos de BNP.

63499

A INFLAMAÇÃO COMO MARCADOR PROGNÓSTICO NA INSUFICIÊNCIA CARDÍACA.

FILIPE PEREIRA DE OLIVEIRA, LARISSA ROSA PASSOS, LUDMILA RIBEIRO BRAMBATI, PIETRO DALLORTO LIMA, ANDRESSA CORTELETTI, RENATO GIESTAS SERPA, OSMAR ARAUJO CALIL, LUIZ FERNANDO MACHADO BARBOSA E ROBERTO RAMOS BARBOSA

EMESCAM, VITÓRIA , ES, BRASIL

ntrodução: A insuficiência cardíaca com fração de ejeção reduzida (ICFER) apresenta prevalência crescente nos dias atuais e tem significativo impacto socioeconômico nos sistemas de saúde. Por acarretar resposta inflamatória sistêmica, pode ocorrer aumento de proteínas positivas de fase aguda, como a proteína C reativa (PCR), e redução de proteínas negativas, como a albumina, e estes mediadores pró-inflamatórios podem se associar à progressão da doença. O objetivo do presente estudo foi avaliar a inflamação como marcador prognóstico na ICFER. Métodos: Estudo prospectivo observacional unicêntrico realizado entre junho de 2018 e dezembro de 2019. Dados clínicos e aboratoriais de pacientes ambulatoriais portadores de ICFER foram obtidos num serviço especializado de um hospital-escola. Foram excluídos pacientes com internação por ICFER descompensada nos últimos 30 dias. PCR e albumina foram coletados no momento da inclusão. A presença de inflamação foi definida como relação PCR/albumina ≥1,2. Os desfechos analisados foram óbito, internação, número de internações e número de dias de internação. Foram utilizados os testes de Wilcoxon, Mann-Whitney e t de student não-pareado. Resultados: Foram incluídos 77 pacientes, com seguimento médio de 12 neses, sendo 49 (63,6%) com PCR/albumina <1,2 (grupo 1) e 28 (36,4%) PCR/albumin ≥1,2 (grupo 2). Não houve diferença entre os grupos 1 e 2 em relação a gênero, média de idade, taxa de uso de betabloqueador, IECA/BRA ou espironolactona. Observou-se liferença significativa em relação às classes funcionais I e III entre os grupos (classe I 57,1% vs 32,1%, p=0,03; classe II = 38,8% vs 50,0%, p=0,33; classe III = 2,0% vs 14,3%, p=0,03; classe IV = 2,0% vs 3,6%, p=0,68;). Necessitaram de ao menos uma internação no seguimento seis pacientes do grupo 1 (12,2%) e 10 pacientes do grupo 2 (35,7%) (p=0,01). A taxa de internações por descompensação foi de, respectivamente, 16,3 vs 50,0 internações a cada 100 pacientes (p=0,001) e o tempo médio de permanência hospitalar foi de 1,2 vs 5,3 dias por paciente (p=0,04). A mortalidade no seguimento foi de 6,1% no grupo 1 vs 7,1% no grupo 2 (p=0,86). Conclusão: Pacientes com ICFER e com inflamação demonstrada laboratorialmente apresentaram risco três vezes maior de nternação hospitalar por descompensação da doença quando comparados aos pacientes em inflamação, além de maior tempo médio de permanência hospitalar. A presença de nflamação não se associou a aumento de mortalidade na ICFER.



Resumos Temas Livres

63500

RELATO DE CASO: CHOQUE CARDIOGÊNICO APÓS ACIDENTE GRAVE POR ESCORPIÃO

FELIPE SARLO PEZZIN, AMANDA BASSANI PAGOTTO, LARISSA STELZER BANDEIRA, LUIZA MELO CASTOR AZEVEDO, RINARA ANGÉLICA DE ANDRADE MACHADO E DÉBORA PEREIRA GALVÊAS

CIATOX-ES, VITÓRIA, ES, BRASIL.

Introdução: : O escorpionismo é um problema de saúde pública, sendo a espécie Tytiu serrulatus a mais prevalente no país e no Espírito Santo. A maioria desses acidentes causam sintomas locais com dor intensa e alguns casos podem evoluir com sintomas de maior gravidade, com alterações cardiorrespiratórias, instabilidade hemodinâmica e óbito. Em geral, o diagnóstico é clínico-laboratorial, uma vez que na maioria dos casos o ponto de inoculação não é visível. Descrição do caso: Criança de quatro anos, admitida no Pronto Atendimento, com relato de dor em mão direita associada a contrações involuntárias de membros, desvio ocular e perda de consciência transitória Examé físico apresentava sudorese profusa, tosse seca, vômitos incoercíveis, palide: cutânea, sonolência, frequência cardíaca: 103 bpm, frequência respiratória: 28 irpm pressão arterial 108x86 mmHg, HGT 247 mg/dL, ausculta pulmonar normal. Suspeito se de escorpionismo pelo quadro clínico e hiperglicemia. Exames da admissão Leucocitose (22.900 mil), CPK: 918 U/L, CKMB: 112 ng/ml, troponina reagent eletrocardiograma com taquicardia sinusal, infradesnivelamento do segmento S (V1 e V2) e sinal de hipertrofia ventricular esquerda. Classificado como acidente escorpiônico grave, foram administradas seis ampolas de soro antiescorpiônico e transferência para hospital com suporte avançado. Foi admitida com edema agudo de pulmão, evoluindo com choque cardiogênico, sendo submetida à intubação orotraqueal e dobutamina. No segundo dia de internação houve aparecimento de B3 e realizados dois ecocardiogramas com intervalo de 12 horas. O primeiro apresent fração de ejeção ventricular esquerda (FEVE) de 45-52%, o segundo com FEVE 35% Apresentou elevação de CPK (2200 a 7300 U/L) e CKMB (112 - 207ng/ml), entre segundo e quarto dia de internação. Realizados novos ecocardiogramas no quinto e sexto dia de hospitalização com FEVE 57% e 47%, respectivamente, início da queda da CPK (2096 U/L). No sétimo dia, após estabilização do quadro, permaneceu cor noradrenalina e furosemida. Extubada no nono dia e alta hospitalar com 15 dias de internação. Conclusão: O comprometimento cardiovascular é a principal causa de morte nos casos de escorpionismo e a miocardite pode ocorrer após soroterapia Logo, o diagnóstico e soroterapia precoces junto a suporte de terapia intensiva são ordiais na redução de complicações e morbimortalidade

63508

COMPARAÇÃO DE DOIS MODELOS DE RISCO NA PREDIÇÃO DE NEFROPATIA INDUZIDA POR CONTRASTE APÓS CATETERISMO CARDÍACO E INTERVENÇÃO CORONÁRIA PERCUTÂNEA

MÁRIO JOSÉ COSTA BAZZARELLA, IZABELA BERNARDES MUNIZ, SABRINA PAIVA TAVARES PEREIRA, RODOLFO COSTA SYLVESTRE, VITOR MARTINELLI BATISTA ROLIM, RENATO GIESTAS SERPA, OSMAR ARAUJO CALIL, LUIZ FERNANDO MACHADO BARBOSA E ROBERTO RAMOS BARBOSA

ESCOLA DE MEDICINA DA SANTA CASA DE MISERICÓRDIA DE VITÓRIA, VITÓRIA, ES, BRASIL - HOSPITAL SANTA CASA DE MISERICÓRDIA DE VITÓRIA, VITÓRIA, ES, BRASIL.

Introdução: : A nefropatia induzida por contraste (NIC) é uma das principais causas de insuficiência renal aguda hospitalar. Faz-se importante identificar pacientes de alto risco e prevenir a ocorrência dessa complicação em procedimentos nos quais o uso de contraste é essencial. O escore de risco de Mehran (ERM) demonstrou ser clinicamente útil como preditor de risco para NIC e inclui oito variáveis clínicas e de procedimento. Entretanto, a validação do ERM no Brasil é desconhecida. Maior volume de contraste e clearance de creatinina (CIC) reduzido são sabidamente fatores de risco para NIC. O objetivo do presente estudo foi comparar a relação volume de contraste utilizado/clearance de creatinina (CIC) re o ERM na predição de NIC. Métodos: Estudo retrospectivo observacional unicêntrico que incluiu pacientes internados, com creatinina basal -13 mg/dl ou história de insuficiência real crônica, em observação por pelo menos 48 horas após realização de cateterismo cardíaco e/ou intervenção coronária percutânea. O desfecho primário foi o desenvolvimento de NIC, definido por aumento na creatinina sérica ≥0,5 mg/dl ou um aumento relativo ≥25%. O ERM e a V/CICr foram comparadas quanto à acurácia preditora utilizando-se o coeficiente de correlação de Pearson. Resultados: Foram incluídos 65 pacientes, 55,4% do sexo masculino, idade médio foi de 12,1 ± 4,1 pontos, a V/CICr média 4,9 mediana-3,52/GIQR=5,09 c o desfecho NIC ocorreu em um total de 15 pacientes (23,1%). Ocorreu NIC em 31,7% dos pacientes quando ERM ≥ 6, em 44% quando ERM ≥ 10 e em 80% quando ERM ≥ 15. Já através da relação V/CIC, o desfecho ocorreu em 33,3% dos pacientes com V/CICr ≥ 2,30% com V/CICr ≥ 3 e 31,3% com V/CICr ≥ 5. O coeficiente de correlação entre os dois modelos foi de 0,31, denotados correlação faca. Conclusão: A capacidade de estratificação da relação V/CICr i imitada (não-linear), enquanto o aumento da incidência do desfecho ocorre de forma linear com a utilização do ERM. O ERM tem poder estratificador mais alto que a V/CICr to apredição de N

63509

ACESSO TRANSRADIAL DISTAL NA TABAQUEIRA ANATÔMICA EM CARDIOLOGIA INTERVENCIONISTA: ANÁLISE DE COMPLICAÇÕES E DOR NO SÍTIO DE PUNCÃO

BRUNO P R ARAGÃO, RODRIGO D FERRAZ, GUSTAVO A C E PADILHA, PIETRO D LIMA, VINICIUS A ASTOLPHO, VITOR M B ROLIM, OSMAR A CALIL, RENATO G SERPA, LUIZ F M BARBOSA e ROBERTO R BARBOSA

ESCOLA DE MEDICINA DA SANTA CASA DE MISERICÓRDIA DE VITÓRIA VITÓRIA, ES, BRASIL - HOSPITAL SANTA CASA DE MISERICÓRDIA DE VITÓRIA VITÓRIA ES BRASIL.

Introdução: O acesso transradial distal (TRD) realizado através da tabaquein anatômica é uma via de acesso arterial descrita recentemente na Cardiologia Intervencionista. Esse tipo de acesso ainda é pouco utilizado comparado à via transradial (TR) e à via transfemoral (TF). Este estudo teve como objetivo analisar a via TRD em relação a complicações e dor no sítio de punção, comparando-a con as vias TR e TF. Métodos. Estudo prospectivo observacional unicêntrico que incluiu pacientes submetidos a procedimentos coronarianos em Cardiologia Intervencionist tanto eletivos quanto de urgência. Dados clínicos e de procedimento foram coletados e um questionário foi aplicado após sete a 30 dias a respeito de complicações e do no sítio de punção. A via TRD foi comparada às vias TR e TF. Análise estatístico compreendeu o teste do qui quadrado, teste de Fisher e teste T student não pareado adotando-se nível de significância de 5%. Resultados. Foram incluídos 211 pacientes sendo 69 no grupo TRD, 71 no grupo TR, 71 no TF. 15,9% dos pacientes no grupo TRD relataram ter sentido dor no local da punção, em comparação com 32,4% no grupo TF (p=0,023) e 15,5% no grupo TF (p=1). Quanto à intensidade da dor (escala de 1 a 10 nos pacientes que relataram o sintoma, a via TRD apresentou dor mais intensa (5,8 2,2) comparada às vias TR (4,8 \pm 2,5; p=0,013) e TF (4,6 \pm 1,7; p=0,0004). A duração da dor na via TRD também foi maior (13,7 \pm 9,8 dias) em comparação às vias TR (7,6 \pm 1,7 \pm 9,8 dias) em comparação às vias TR (7,6 \pm 1,7 \pm 9,8 dias) em comparação às vias TR (7,6 \pm 1,7 \pm 9,8 dias) em comparação às vias TR (7,6 \pm 1,7 \pm 9,8 dias) em comparação às vias TR (7,6 \pm 1,7 \pm 9,8 dias) em comparação às vias TR (7,6 \pm 1,7 \pm 9,8 dias) em comparação às vias TR (7,6 \pm 1,7 \pm 9,8 dias) em comparação às vias TR (7,6 \pm 1,7 \pm 9,8 dias) em comparação às vias TR (7,6 \pm 1,7 \pm 9,8 dias) em comparação às vias TR (7,6 \pm 1,7 \pm 9,8 dias) em comparação às vias TR (7,6 \pm 1,7 \pm 9,8 dias) em comparação às vias TR (7,6 \pm 1,7 \pm 9,8 dias) em comparação às vias TR (7,6 \pm 1,7 \pm 9,8 dias) em comparação às vias TR (7,6 \pm 1,7 \pm 9,8 dias) em comparação às vias TR (7,6 \pm 1,7 \pm 9,8 dias) em comparação às vias TR (7,6 \pm 1,7 \pm 9,8 dias) em comparação às vias TR (7,6 \pm 1,7 \pm 9,8 dias) em comparação às vias TR (7,6 \pm 1,7 \pm 1,7 \pm 1,8 \pm 1,9 \pm ± 5,2 dias; p=0,0001) e TF (8,2 ± 4,1 dias; p=0,0001). Nenhuma complicação vascula ou hemorrágica major foi observada na amostra, sendo diagnosticada apenas uma alergia local na via TRD, provavelmente devido à fixação do curativo compressiv Conclusão. A via de acesso TRD teve baixa incidência de dor local, comparável a da via TF e menor que a da via TR. Contudo, a intensidade e a duração da dor n sítio de punção, quando esta ocorreu, foram maiores que nas demais vias de acesso Observou-se ausência de complicações majores nas três vias de acesso.

63515

RELATO DE CASO DE NEONATOS COM CARDIOPATIA COMPLEXA TIPO UNIVENTRICULAR COM HIPOPLASIA DO ARCO AÓRTICO

GABRIEL FAIOLI NASCIMENTO ALVES VIEIRA, KARLA LOUREIRO LOSS, RAFAEL AON MOYSÉS, LUIZ RENATO DAROZ, JOSE SILVA HENRIQUE E LEANDRO BATISTI DE FARIA

UNIVERSIDADE VILA VELHA (UVV), VILA VELHA, ES, BRASIL.

A cardiopatia congênita é a mal formação mais freguente, prevalência de 9:1000 nascidos vivos. As cardiopatias univentriculares representam 1,5% de todas as cardiopatias, que por vezes associam-se a hipoplasia do arco aórtico.Os 2 casos que serão relatados se referem a cardiopatias univentriculares associadas a algum grau de hipoplasia do arco aórtico, com abordagens cirúrgicas diferentes.Caso1:Recém-nascido, feminino,8ºdia de vida.2.7Kg, ao exame físico notado sopro cardíaco e redução de pulsos em membros nferiores.Rx de tórax apresentava aumento de área cardíaca. Ao ecocardiograma com Doppler (Eco-Doppler):atresia tricúspide com vasos em má posição,ventrículo direito nipoplásico,comunicação interatrial ampla(CIA),comunicação interventricular subaórtica estritiva(CIV) com hipoplasia de todo arco aórtico e persistência do canal arterial(PCA). A angiotomografia cardíaca(Angio-TC) confirmou os achados ecocardiográficos esclarecendo arco aórtico hipoplásico com estreitamento crítico pré-ductal com aorta anterior e a esquerda,menor diâmetro de 1,5X1,3mm,ventrículo único tipo esquerdo com aorta saindo do ventrículo hipoplásico e pulmonar partindo do ventrículo principal;CIV restritiva entre os ventrículos(7,6X4,0mm) e CIA ampla(10X8,6mm). Foi submetido a operação de Norwood clássico no 22ºdia de vida devido a complicações infecciosas prévias. Após 6h de cirurgia,apresentou disfunção ventricular grave com fibrilação não responsiva a medidas clínicas.Caso2:Recém-nascido,feminino,3ºdia de vida,2,5Kg,sopro cardíaco,diferença de pressão entre os membros,extremidades frias,saturando 90% em ar ambiente.Eco-Doppler.cardiopatia congênita tipo isomerismo direito,átrio único,CIV ampla tipo mal alinhamento,dupla via de saída do ventrículo direito sem restrição ao fluxo pulmonar,arco aórtico hipoplásico com coarctação da aorta e PCA.Achados confirmados na Angio-TC.Operada no 18ºdia de vida: ligadura da PCA,anastomose término-terminal da coarctação,ampliação da aorta proximal com chuleio e bandagem da pulmonar.Eco-Doppler pós-cirúrgico: arco aórtico evidenciando bom resultado,gradiente máximo de 15mmHg;Cerclagem pulmonar bem posicionada,gradiente máximo de 70mmHg e bom fluxo na aorta descendente;Boa função sistólica biventricular.Alta aos 2 meses de vida,com diuréticos. Conclui-se que o tratamento cirúrgico pode variar na correção do arco e ressaltase a importância para o sucesso das correções:condições pré-operatórias e associação com

Arq Bras Cardiol. 2020; 115(4):4-9

Resumos Temas Livres



63516

INFARTO AGUDO DO MIOCÁRDIO COM SUPRADENIVELAMENTO DO SEGMENTO ST: COMPARAÇÃO DOS PERÍODOS ANTES E DURANTE PANDEMIA DE COVID-19

RODOLFO COSTA SYLVESTRE, GUILHERME VASSALO MORAIS, ALICE LUCINDO DE SOUZA FERNANDA VENTURINI DE CASTRO, LUCAS CRESPO DE BARROS, OSMAR ARAUJO CALIL, RENATO GIESTAS SERPA, LUIZ FERNANDO MACHADO BARBOSA E ROBERTO RAMOS BARBOSA

HOSPITAL SANTA CASA DE MISERICÓRDIA DE VITÓRIA, VITÓRIA, ES BRASIL - ESCOLA DE MEDICINA DA SANTA CASA DE MISERICÓRDIA DE

Introdução: O infarto agudo do miocárdio com supradesnivelamento do segmento S (IAMCSST) é uma das causas líderes de mortalidade no mundo atual, e a pandemia de COVID-19 pode prejudicar o tratamento precoce de diversas maneiras. Este estudo tev como objetivo analisar o perfil clínico, os tempos de retardo e a evolução clínica de paciente com IAMCSST submetidos a cateterismo cardíaco de urgência e intervenção percutâne: primária (ICPP) no Espírito Santo, nos períodos antes e durante a pandemia de COVID-19 Métodos. Estudo retrospectivo observacional unicêntrico que incluiu pacientes admitidos co IAMCSST submetidos a ICPP no período de agosto de 2019 a julho de 2020. Os paciente foram comparados de acordo com o período de internação (pré-pandemia ys. durante compandemia) e foram analisados tempos de retardo (tempo dor-porta, tempo porta-balão, temp total de isquemia até a ICPP), características clínicas e desfechos clínicos (insuficiência rena aguda e óbito intra-hospitalar). Análise estatística compreendeu o teste do qui-quadrado, teste de Fisher e o teste T de student não pareado, adotando-se nível de significância d 5%, Resultados, Foram incluídos 78 pacientes submetidos a ICPP por IAMCSST, sendo 4 pré-pandemia (58,9% - 6,6 casos por mês) e 32 durante a pandemia (41,1% - 6,4 caso por mês). Na comparação entre os grupos, foi observado aumento de pacientes do sex feminino (17.4% pré-pandemia vs. 37.5% durante a pandemia: n=0.04) e aumento d prevalência de hipertensão arterial (60,9% vs. 87,5%; p=0,01). Houve aumento do tempo dor-porta (248 ± 198 minutos vs. 357 ± 182 minutos; p=0,014). O tempo porta-balão foi 64 : 47 minutos pré-pandemia vs. 59 ± 25 minutos durante a pandemia (p=0,57) e o tempo tota de isquemia foi respectivamente 363 ± 217 minutos e 451 ± 236 (p=0,09). A incidência de insuficiência renal aguda foi 17,4% pré-pandemia e 21,8% durante a pandemia (p=0,62) e a mortalidade intra-hospitalar foi respectivamente 6,5% e 18,7% (p=0,07). Conclusão Houve aumento proporcional de mulheres com IAMCSST submetidas a ICPP durante pandemia de COVID-19, aumento da prevalência de hipertensão nestes pacientes e aumento do tempo de retardo até a procura por atendimento médico. Observou-se tendência para maior mortalidade intra-hospitalar e prolongamento do tempo total de isquemia no IAMCSS durante a pandemia, porém sem significância estatística.

63526

AVALIAÇÃO DE CARDIOTOXICIDADE INDUZIDA POR QUIMIOTERÁPICOS EM PACIENTES COM CÂNCER DE MAMA

VINICIUS ANGELO ASTOLPHO, GABRIEL AMORIM CASTELLAN, LUIZA HANDERE LORENCINI, ARTUR VARNIER DE FREITAS, VÍTOR LORENCINI BELLOTI, LUCAS CRESPO DE BARROS, LARISSA NOVAES PAGANINI, LUANA TAMARA PESCUITE ROBERTO RAMOS BARBOSA e LUIZ FERNANDO MACHADO BARBOSA

HOSPITAL SANTA CASA DE MISERICÓRDIA DE VITÓRIA, VITÓRIA, ES, BRASIL

Introdução: Observa-se nos avanços da terapêutica oncológica crescente sobrevida d pacientes com neoplasia de mama. Grande parte necessita de tratamento quimioterápico com envolvimento de drogas potencialmente cardiotóxicas, como doxorrubicina ciclofosfamida e trastuzumab. O obietivo desse estudo foi avaliar a incidência de ardiotoxicidade em pacientes com neoplasia de mama submetidos a tratamento co tais fármacos. Métodos: Estudo longitudinal observacional unicêntrico retrospectivo prospectivo que incluiu pacientes com neoplasia de mama e tratamento quimioterápio com doxorrubicina e/ou ciclofosfamida, entre 2015 e 2019. Realizou-se coleta de dado: com informações sobre dados clínicos, estadiamento e tratamento oncológico, fatores d risco cardiovascular, cardiopatias subjacentes e evolução clínica após quimioterapia. desfecho analisado foi o desenvolvimento de disfunção ventricular esquerda comprovad através de redução da fração de ejeção (FE) ao ecocardiograma, com análise estatístic scritiva. Resultados: Foram incluídos 151 pacientes, sendo 149 mulheres (98,7%) 2 homens (1.3%), Setenta pacientes apresentavam previamente hipertensão arteria sistêmica (46,4%), 31 diabetes mellitus (20,5%), 20 dislipidemia (13,2%) e 11 erar tabagistas ativos (7.3%). Um paciente (0.7%) tinha história prévia de infarto do miocárdi e dois (1,3%) tinham FE <50% antes da quimioterapia. Foi utilizado doxorrubicina em 84 (55,6%), ciclofosfamida em 92 (60,9%) e trastuzumab em 9 (6,0%). A dose média acumulada de doxorrubicina foi de 349 ± 157 mg/m². Estavam em uso prévio de betabloqueadores 18 pacientes (11,9%), IECA ou BRA 44 (29,1%) e espironolactora 1 (0,7%). Cinquenta e seis (37,1%) pacientes submetidos a quimioterapia realizarar ecocardiograma antes do tratamento e apresentaram FE média 67 ± 8%, enquanto 2 (17,9%) fizeram controle ecocardiográfico pós-quimioterapia com FE média 64 ±5%. Cinco pacientes (3,3%) apresentaram quadro clínico compatível com insuficiência cardíaca (IC) pós-quimioterapia. Conclusão: Uma pequena parte dos pacientes com neoplasi de mama apresentou quadro de IC confirmado por ecocardiograma após tratamen quimioterápico. A maioria dos pacientes não realizou avaliação ecocardiográfica prévia e após a quimioterapia com medicações cardiotóxicas. Observou-se alta prevalência de fatores de risco cardiovascular nessa população.

63524

SARS-COV-2 E LESÃO CARDÍACA: DADOS DO CORONAHEART REGISTRY

FERNANDA CHAGAS REUTER MOTTA, HEMELY ALMEIDA DO NASCIMENTO. LUCAS BANDEIRA LIMA, RODOLFO COSTA SYLVESTRE, JULIA DE LYRA MARTINELLI SCARDUA PIETRO DALLORTO LIMA HANNA CÁSSIA LIMA RODRIGUES, LUCAS VIEIRA PINTO, ALDREN THOMAZINI FALÇONI JÚNIOR FORERTO RAMOS BARROSA

HOSPITAL SANTA CASA DE MISERICÓRDIA DE VITÓRIA, VITÓRIA, ES, BRASIL ESCOLA SUPERIOR DE CIÊNCIAS DA SANTA CASA DE MISERICÓRDIA D

esões cardíacas durante a infecção. O CORONAHEART REGISTRY é um estudo brasileir ulticêntrico que busca avaliar as alterações cardíacas associadas à infecção por SARS-CoV-2. O objetivo do presente estudo é descrever os achados deste registro em um dos centros participantes localizado no Espírito Santo. Métodos: Foram incluídos pacientes com suspeita de lesão cardíaca possivelmente atribuível à infecção pelo SARS-CoV-2, com ao menos um dos seguintes critérios: alterações cardíacas confirmadas laboratorialmente (troponina, NT-proBNP ou BNP alterados, D-dímero 3 vezes acima do limite de ormalidade): alterações clínicas (arritmias, miocardite, pericardite, choque cardiogênico insuficiência cardíaca e síndrome coronariana aguda) e necessidade de dispositivos de suporte circulatório. Os pacientes foram acompanhados até alta hospitalar ou óbito intranospitalar. Os desfechos analisados foram necessidade de internação em unidade de terapia intensiva (UTI), uso de drogas vasoativas (DVA), de ventilação mecânica invasiva (VMI) e bito intra-hospitalar. Dados foram colhidos em prontuário eletrônico e realizou-se análise estatística descritiva. Resultados: De um total de 258 pacientes internados com infecção por SARS-CoV-2, 75 (29,1%) apresentaram lesão cardíaca e foram incluídos no estudo, sendo 30 homens (40.0%) e 45 mulheres (60.0%). Os achados foram: D-dímero elevado 54 casos (72,0%); BNP elevado, 28 (37,3%); troponina elevada, 20 (26,6%); alterações eletrocardiográficas, 16 (21,3%); SCA, 7 (9,3%); e arritmias, 5 (6,6%). 50 pacientes (66,6%) necessitaram de internação em UTi; 44 (58,7%) do uso de DVA; 33 (44,0%), de VMI e 24 pacientes (32,0%) apresentaram óbito intra-hospitalar. As medianas relativas ao tempo lecorrido entre a internação e a alta hospitalar ou óbito foram de 12 (IQR=4-83) e 11 dias IQR=7-27) respectivamente. Dentre os casos que evoluíram para óbito, os marcad boratoriais apresentaram as seguintes medianas: troponina 0.8 (IQR=0.15-214): NT ProBNP 843 (IQR=390-31.182); BNP 1.349 (IQR=234-18.357); D-dimero 2.804 (IQR=502-32.702) e proteína C reativa 89 (IQR=15-121).Conclusão: Observou-se elevada mortalidade ntra-hospitalar e elevado perfil clínico de gravidade dos pacientes com lesão cardíaca ssociada à infecção por SARS-CoV-2.

63527

RELATO DE CASO: SUPRADESNIVELAMENTO DO SEGMENTO ST EM PAREDE NFERIOR APÓS INGESTÃO DE FOSFETO DE ALUMÍNIO

IOÃO GABRIEL RAMOS DE MATOS. MRJORYE ALVES DE BARROS. DÉBORA PEREIRA GALVÊAS. BARBARA MORGADO AREAS. EMILIO PEREIRA DO ROSARIO JUNIOR e SCHEILA CRISTINA GHISOLFI PEDRINI ROCIO

CIATOX-ES, VITÓRIA. , BRASIL - SECRETARIA DE ESTADO DA SAÚDE, VITÓRIA

ntrodução: O fosfeto de alumínio é um fumigante usado no controle de insetos oedores e outras pragas em produtos em armazenamento. Em caso de autoextermínio com essa substância, a mesma entra em contato com o suco gástrico, ocasionando formação de fosfina sendo absorvido pela mucosa do trato gastrointestinal, e excretado principalmente pelos rins e pulmões. Seu mecanismo de ação, não totalmente elucidado, parece envolver hipóxia, cujo óbito pode ocorrer em 24 horas devido à cardiotoxicidade aguda, podendo demorar até 4 dias quando sobrevém a síndrome do desconforto respiratório do adulto. Descrição do caso: É relatado o caso le uma mulher de 77 anos com tentativa de autoextermínio por ingestão de pastilha de Gastoxin (fosfeto de alumínio), que em aproximada 6 horas evoluju para óbito após quadro de síndrome coronariana aguda. Ao ECG na admissão, o exame demonstrou ritmo juncional e corrente de lesão subepicárdica em parede inferior, compatível com infarto agudo do miocárdio, manifestação importante para esse tipo de enfermidade. Além disso, foi constatado que a equipe envolvida no atendimento inicial desenvolveu sintomas compatíveis com a intoxicação descrita, como náusea, xerostomia e cefaleia Conclusões: Além de um interessante achado clínico e complementar, ressalta-se a mportância de considerar esse tipo de intoxicação como diagnóstico diferencial no ambiente de emergência, já que a rápida progressão para sintomas com risco de vida tem sido um desafio para a toxicologia clínica, discutindo-se, assim, sua fisiopatologia, epidemiologia, intervenções terapêuticas precoces que visem assegurar melho uporte tanto para o paciente como à toda equipe envolvida



ÍNDICE REMISSIVO POR AUTOR E Nº DO TEMA

A

ADALBERTO MASSAKI IKEGAMI - 63495

ADAUTO G P NETO - 57636

ALDREN THOMAZINI FALCONI IÚNIOR - 63524

ALEXANDRE AUGUSTO MARCHI GUEDES - 63495

ALICE LUCINDO DE SOUZA - 63516

AMANDA BASSANI PAGOTTO - 63500

AMANDA CAVALCANTE LOZER - 63384

ANA CAROLINA ANTÃO - 63252

ANA CRISTINA TENÓRIO DA COSTA FERNANDES - 63250

ANA LUISA MALLET - 63246

ANDRESSA CORTELETTI - 63499

ARI ANTONIO STEIN LIMA JUNIOR - 57650

ARTUR VARNIER DE FREITAS - 63526

ASSAD M SASSINE - 57650, 63306 e 63384

BARBARA MORGADO AREAS - 63527

BRUNO P R ARAGÃO - 63509

ELISA ITO MENDES - 57650

ELIZABETH SILAID MUXFELDT - 63246

EMILIO PEREIRA DO ROSARIO IUNIOR - 63527

FELIPE REY COSTA TOSTES – 63250 e 63252

FELIPE SARLO PEZZIN - 63500

FERNANDA CHAGAS REUTER MOTTA - 63524

FERNANDA COSTA BARRADAS – 63246 e 63250

FERNANDA DO VALLE KANGUSSU - 63250

FERNANDA VENTURINI DE CASTRO - 63516

FILIPE PEREIRA DE OLIVEIRA - 63499

FLAVIA CAMPOS FERREIRA LIBORIO - 63250

GABRIEL AMORIM CASTELLAN - 63526

GABRIEL FAIOLI NASCIMENTO ALVES VIEIRA - 63515

GABRIELA GIRÃO ALBUQUERQUE – 63252

GABRIELA LIRA DEVENS - 63240

GABRIELLA MARTINS CURCIO - 57412

GUILHERME VASSALO MORAIS - 63516

GUSTAVO A C E PADILHA - 63509

HANNA CÁSSIA LIMA RODRIGUES - 63524 **HEMELY ALMEIDA DO NASCIMENTO - 63524**

D

CARLOS AUGUSTO PAREDE MACEDO MOURA - 63252

CAROLINA MÁRCIA IADIIISKY TONANI - 63384

CAROLINE FEU ROSA CARRERA - 57412

CLARA MARIA DA COSTA - 63252

CAROLYNNE FERREIRA MACHADO - 63384

DALTON VALENTIM VASSALLO - 63251

DÉBORA DE CASTRO ROCHA WANDERMUREM - 63250 DÉBORA PEREIRA GALVÊAS – 63500 e 63527

DÉBORAH DELLABIANCA BENTO - 63384

INAH MARIA DRUMMOND PECLY - 63252

INGRED VIEIRA BARCELOS THULER - 63384

INGRID ARDISSON COLODETE - 63103 e 63240

ISABELA FAVARATO BENEDITO - 63261

ISABELA VIANA DE PAIVA - 63495

IZABELA BERNARDES MUNIZ - 63508

Arq Bras Cardiol. 2020; 115(4):6-9 Arq Bras Cardiol. 2020; 115(4):7-9

ÍNDICE REMISSIVO POR AUTOR E Nº DO TEMA



I

JOÃO GABRIEL RAMOS DE MATOS - 63527 JOÃO VICTOR HOLLANDA - 63250

JOSE SILVA HENRIQUE - 63515

JULIA ANTONIETTA DANTAS DA SILVA - 63251

JULIA DE LYRA MARTINELLI SCARDUA - 63524

K

KARLA LOUREIRO LOSS - 63515 KAROLINI ZUQUI NUNES - 63251

I

LARA PESSANHA MAROTI - 63246

LARISSA NOVAES PAGANINI - 63526

LARISSA ROSA PASSOS - 63499

LARISSA STELZER BANDEIRA - 63500

LAYANE BONFANTE BATISTA - 57412

LEANDRO BATISTI DE FARIA - 63515

LETÍCIA ZARUR JUNQUEIRA DE ANDRADE – 63246 e

63250

LINCOLN GABRIEL DALMAZ - 63495

LUANA TAMARA PESCUITE - 63526

LUCAS ANTEQUERA - 63250

LUCAS BANDEIRA LIMA - 63524

LUCAS CRESPO DE BARROS – 5741, 63516 e 63526

LUCAS VIEIRA PINTO - 63524

LUDMILA RIBEIRO BRAMBATI - 63499

LUÍSA ZAMPERLINI PAQUINI - 63258

LUIZ F M BARBOSA - 63509

LUIZ FERNANDO MACHADO BARBOSA - 57636, 63103,

63240, 63258, 63499, 63508, 63516 e 63526

LUIZ RENATO DAROZ - 63515

LUIZA ARAUJO NOGUEIRA - 63246

LUIZA HANDERE LORENCINI - 63526

LUIZA MELO CASTOR AZEVEDO - 63500

M

MAIRA LUISA NEIVA DA SILVA - 63491

MARIELLE NEIVA DA SILVA - 63491

MÁRIO JOSÉ COSTA BAZZARELLA - 63508

MATEUS DAROZ GONÇALVES - 63240 e 63258

MATTHEWS B PAULA - 57636

MRJORYE ALVES DE BARROS - 63527

N

NAYARA ZANETTI COMERIO - 63261

O

OSMAR A CALIL - 63509

OSMAR ARAUJO CALIL - 57412, 63240, 63258, 63499,

63508 e 63516

OTAVIO GONÇALVES D. O. JUNIOR - 63495

P

PAULO ROBERTO ANGELETE ALVAREZ BERNARDES -

63261

PEDRO HENRIQUE PIMENTA DINIZ - 63252

PEDRO JULIO PACHECO VELASCO - 63246

PIETRO D LIMA - 63509

PIETRO DALLORTO LIMA - 57412, 63103, 63240, 63258,

63499 e 63524

R

RAFAEL AON MOYSÉS - 63515

RAFAEL OLIVEIRA DE SOUSA - 63306

RAMON CHIABAI MOURA - 63103

RAMON NARDE SIMÃO - 63246 RAMON OTT VARGAS - 57650

RENAN VICENTE STALING BRAGA - 63495

RENATO G SERPA - 63509, 57412, 63103, 63240, 63258,

63499, 63508 e 63516



ÍNDICE REMISSIVO POR AUTOR E Nº DO TEMA

RINARA ANGÉLICA DE ANDRADE MACHADO - 63500

ROBERTO R BARBOSA - 63509

ROBERTO RAMOS BARBOSA - 57412, 63103, 63240,

63258, 63499, 63508, 63516, 63524 e 63526

RODOLFO COSTA SYLVESTRE - 63508, 63516 e 63524

RODRIGO D FERRAZ - 63509

RODRIGO EUGÊNIO VINUTO BORGES - 63246 e 63250

RODRIGO SILVA - 63252

RONNY S M LOPES - 57636

S

SABRINA PAIVA TAVARES PEREIRA - 63508

SÁVIO FERREIRA RIBEIRO – 63246 e 63250

SCHEILA CRISTINA GHISOLFI PEDRINI ROCIO - 63527

STEPHANIE SI MIN LILIENWALD OEI - 63246

٦

TAYS SILVA DE ARAUJO STEIN - 57650

THAIS KELLEN RIBEIRO DA SILVA - 63258

THALES SCHWARTZ DUARTE MARTINS – 63240 e 63258

THIAGO RODRIGUES SEQUEIRA - 63384

V

VICTOR MONTEIRO DIAS SAADEH - 57650

VINICIUS A ASTOLPHO – 63509 e 63526

VINICIUS LEIRIA TEIXEIRA LOUZADA - 63252

VÍTOR LORENCINI BELLOTI - 63526

VITOR M B ROLIM – 63509, 63103, 63258 e 63508

VITOR S MACHADO - 57636

VITÓRIA FLUMIGNAN - 63252

